

Représentations géométriques

E. Le Pennec
École polytechnique

Erwan.Le-Pennec@polytechnique.edu

Novembre 2017

Plan

Plan

- Images et traitement du signal.

Plan

- Images et traitement du signal.
- Représentation creuse et applications.

Plan

- Images et traitement du signal.
- Représentation creuse et applications.
- Représentations classiques :
 - Fourier : JPEG
 - Ondelettes : JPEG 2000

Plan

- Images et traitement du signal.
- Représentation creuse et applications.
- Représentations classiques :
 - Fourier : JPEG
 - Ondelettes : JPEG 2000
- Représentations géométriques :
 - Triangulation adaptatives
 - Curvelets
 - Edgelets

Plan

- Images et traitement du signal.
- Représentation creuse et applications.
- Représentations classiques :
 - Fourier : JPEG
 - Ondelettes : JPEG 2000
- Représentations géométriques :
 - Triangulation adaptatives
 - Curvelets
 - Edgelets

Image et numérisation

Image et numérisation



● Image numérique : $\{c_{k_1, k_2}\}$.

Image et numérisation



- Image numérique : $\{c_{k_1, k_2}\}$.
- Image continue : $f \in L^2$

Image et numérisation



- Image numérique : $\{c_{k_1, k_2}\}$.
- Image continue : $f \in L^2$
- Lien via la numérisation : c_{k_1, k_2} est une moyenne locale de f .

$$c_{k_1, k_2} = \int f(x_1, x_2) \theta(k_1 \epsilon - x_1, k_2 \epsilon - x_2) dx_1 dx_2$$

Image et numérisation



- Image numérique : $\{c_{k_1, k_2}\}$.
- Image continue : $f \in L^2$
- Lien via la numérisation : c_{k_1, k_2} est une moyenne locale de f .

$$c_{k_1, k_2} = \int f(x_1, x_2) \theta(k_1 \epsilon - x_1, k_2 \epsilon - x_2) dx_1 dx_2$$

- Régularité : régularité de la fonction continue.

Traitement de l'image

Traitement de l'image

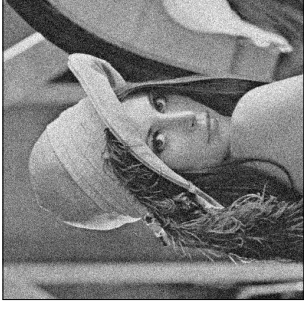
- Traitements des images numériques.

Traitement de l'image



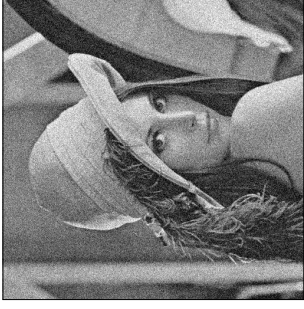
- Traitements des images numériques.
- Compression (stockage, transmission) : décrire une image avec la meilleur qualité possible pour une taille donnée.

Traitement de l'image



- Traitements des images numériques.
- Compression (stockage, transmission) : décrire une image avec la meilleur qualité possible pour une taille donnée.
- Restauration (débruitage, déconvolution) : retrouver un signal déformé lors de l'acquisition.

Traitement de l'image



- Traitements des images numériques.
- Compression (stockage, transmission) : décrire une image avec la meilleur qualité possible pour une taille donnée.
- Restauration (débruitage, déconvolution) : retrouver un signal déformé lors de l'acquisition.
- Amélioration de la qualité, analyse...

Représentation

Représentation

- Description efficace des images.

Représentation

- Description efficace des images.
- Coordonnées dans une base.

Représentation

- Description efficace des images.
- Coordonnées dans une base.
- Choix de la base.

Représentation

- Description efficace des images.
- Coordonnées dans une base.
- Choix de la base.
- Représentation creuse : peu de paramètres pour une bonne approximation.

Représentation

- Description efficace des images.
- Coordonnées dans une base.
- Choix de la base.
- Représentation creuse : peu de paramètres pour une bonne approximation.
- Important pour le traitement du signal : compression, débruitage,...

Représentation creuse dans une base

Représentation creuse dans une base

- Décomposition dans une base orthonormée $\mathbf{B} = \{g_m\}_{m \in \mathbb{N}}$

$$f = \sum_{m \in \mathbb{N}} \langle f, g_m \rangle g_m .$$

Représentation creuse dans une base

- Décomposition dans une base orthonormée $\mathbf{B} = \{g_m\}_{m \in \mathbb{N}}$

$$f = \sum_{m \in \mathbb{N}} \langle f, g_m \rangle g_m .$$

- Approximation avec M vecteurs choisis adaptativement

$$f_M = \sum_{m \in I_M} \langle f, g_m \rangle g_m .$$

Représentation creuse dans une base

- Décomposition dans une base orthonormée $\mathbf{B} = \{g_m\}_{m \in \mathbb{N}}$

$$f = \sum_{m \in \mathbb{N}} \langle f, g_m \rangle g_m .$$

- Approximation avec M vecteurs choisis adaptativement

$$f_M = \sum_{m \in I_M} \langle f, g_m \rangle g_m .$$

- Pour minimiser $\|f - f_M\|^2 = \sum_{m \notin I_M} |\langle f, g_m \rangle|^2$,

Représentation creuse dans une base

- Décomposition dans une base orthonormée $\mathbf{B} = \{g_m\}_{m \in \mathbb{N}}$

$$f = \sum_{m \in \mathbb{N}} \langle f, g_m \rangle g_m .$$

- Approximation avec M vecteurs choisis adaptativement

$$f_M = \sum_{m \in I_M} \langle f, g_m \rangle g_m .$$

- Pour minimiser $\|f - f_M\|^2 = \sum_{m \notin I_M} |\langle f, g_m \rangle|^2$,

sélection des M plus grands produits scalaires :

$$I_M = \{m, |\langle f, g_m \rangle| > T_M\} : \text{seuillage.}$$

Représentation creuse dans une base

- Décomposition dans une base orthonormée $\mathbf{B} = \{g_m\}_{m \in \mathbb{N}}$

$$f = \sum_{m \in \mathbb{N}} \langle f, g_m \rangle g_m .$$

- Approximation avec M vecteurs choisis adaptativement

$$f_M = \sum_{m \in I_M} \langle f, g_m \rangle g_m .$$

- Pour minimiser $\|f - f_M\|^2 = \sum_{m \notin I_M} |\langle f, g_m \rangle|^2$,

sélection des M plus grands produits scalaires :

$$I_M = \{m, |\langle f, g_m \rangle| > T_M\} : \text{seuillage.}$$

- **Problème** : Comment choisir la base \mathbf{B} de sorte que

$$\|f - f_M\|^2 \leqslant CM^{-\alpha} \quad \text{avec un grand } \alpha ?$$

Fourier

Fourier

• Base la plus utilisée.

Fourier

- Base la plus utilisée.
- $\{\cos(2k\pi), \sin(2k\pi)\}_{k \in \mathbb{Z}}$

Fourier

- Base la plus utilisée.
- $\{\cos(2k\pi), \sin(2k\pi)\}_{k \in \mathbb{Z}}$
- Variantes : DCT, DST, ...

Fourier

- Base la plus utilisée.
- $\{\cos(2k\pi), \sin(2k\pi)\}_{k \in \mathbb{Z}}$
- Variantes : DCT, DST, ...
- Très bonne localisation en fréquence mais délocalisation spatiale.

Fourier

- Base la plus utilisée.
- $\{\cos(2k\pi), \sin(2k\pi)\}_{k \in \mathbb{Z}}$
- Variantes : DCT, DST, ...
- Très bonne localisation en fréquence mais délocalisation spatiale.
- Base 2D par produit tensoriel.

Fourier

- Base la plus utilisée.
- $\{\cos(2k\pi), \sin(2k\pi)\}_{k \in \mathbb{Z}}$
- Variantes : DCT, DST, ...
- Très bonne localisation en fréquence mais délocalisation spatiale.
- Base 2D par produit tensoriel.
- $f \in \mathbf{C}^\alpha : \|f - f_M\|^2 \leq C M^{-\alpha}$.

Fourier

- Base la plus utilisée.
- $\{\cos(2k\pi), \sin(2k\pi)\}_{k \in \mathbb{Z}}$
- Variantes : DCT, DST, ...
- Très bonne localisation en fréquence mais délocalisation spatiale.
- Base 2D par produit tensoriel.
- $f \mathbf{C}^\alpha : \|f - f_M\|^2 \leq C M^{-\alpha}$.
- $f \mathbf{C}^\alpha$ en dehors de contours $\mathbf{C}^\alpha : \|f - f_M\|^2 \leq C M^{-1/2}$.

FFT

FFT

- Algorithme rapide en $O(N \log N)$ proposé par Cooley et Tukey (1965).

FFT

- Algorithme rapide en $O(N \log N)$ proposé par Cooley et Tukey (1965).
- Stratégie : diviser pour régner.

FFT

- Algorithme rapide en $O(N \log N)$ proposé par Cooley et Tukey (1965).
- Stratégie : diviser pour régner.
- Division selon la parité

$$\begin{aligned}\hat{f}[n] &= \sum_{k=0}^{2N-1} f[k] e^{-\frac{2i\pi}{2N}nk} \\ &= \sum_{k=0}^{N-1} f[2k] e^{-\frac{2i\pi}{2N}n(2k)} + \sum_{k=0}^{N-1} f[2k+1] e^{-\frac{2i\pi}{2N}n(2k+1)} \\ &= \sum_{k=0}^{N-1} f[2k] e^{-\frac{2i\pi}{N}nk} + e^{-\frac{2i\pi}{2N}n} \sum_{k=0}^{N-1} f[2k+1] e^{-\frac{2i\pi}{N}nk}\end{aligned}$$

FFT

- Algorithme rapide en $O(N \log N)$ proposé par Cooley et Tukey (1965).
- Stratégie : diviser pour régner.
- Division selon la parité

$$\begin{aligned}\hat{f}[n] &= \sum_{k=0}^{2N-1} f[k] e^{-\frac{2i\pi}{2N}nk} \\ &= \sum_{k=0}^{N-1} f[2k] e^{-\frac{2i\pi}{2N}n(2k)} + \sum_{k=0}^{N-1} f[2k+1] e^{-\frac{2i\pi}{2N}n(2k+1)} \\ &= \sum_{k=0}^{N-1} f[2k] e^{-\frac{2i\pi}{N}nk} + e^{-\frac{2i\pi}{2N}n} \sum_{k=0}^{N-1} f[2k+1] e^{-\frac{2i\pi}{N}nk}\end{aligned}$$

- Passage d'une FFT sur $2N$ points à 2 FFT sur N points plus $C2N$ opérations...

FFT

- Algorithme rapide en $O(N \log N)$ proposé par Cooley et Tukey (1965).
- Stratégie : diviser pour régner.
- Division selon la parité

$$\begin{aligned}\hat{f}[n] &= \sum_{k=0}^{2N-1} f[k] e^{-\frac{2i\pi}{2N}nk} \\ &= \sum_{k=0}^{N-1} f[2k] e^{-\frac{2i\pi}{2N}n(2k)} + \sum_{k=0}^{N-1} f[2k+1] e^{-\frac{2i\pi}{2N}n(2k+1)} \\ &= \sum_{k=0}^{N-1} f[2k] e^{-\frac{2i\pi}{N}nk} + e^{-\frac{2i\pi}{2N}n} \sum_{k=0}^{N-1} f[2k+1] e^{-\frac{2i\pi}{N}nk}\end{aligned}$$

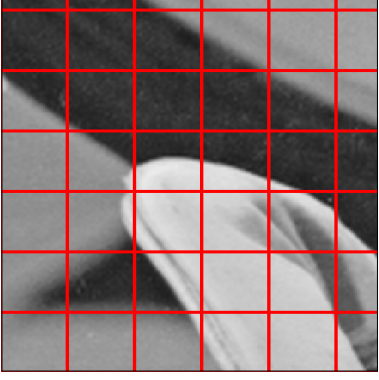
- Passage d'une FFT sur $2N$ points à 2 FFT sur N points plus $C2N$ opérations...
- Récurrence $C(2N) = 2C(N) + 2N \implies C(N) \leq CN \log N$.

JPEG

JPEG

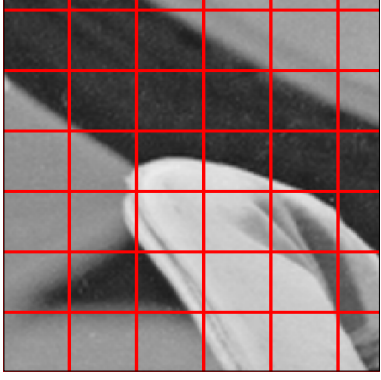
- Comité JPEG 1990.

JPEG



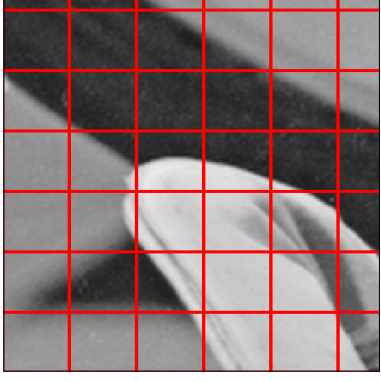
- Comité JPEG 1990.
- Utilisation d'une base de DCT-4 par bloc de taille 8×8 :
$$\{\cos(k_1\pi(x_1 + 1/2)) \times \cos(k_2\pi(x_2 + 1/2))\}_{(k_1, k_2) \in [0,7]}$$

JPEG



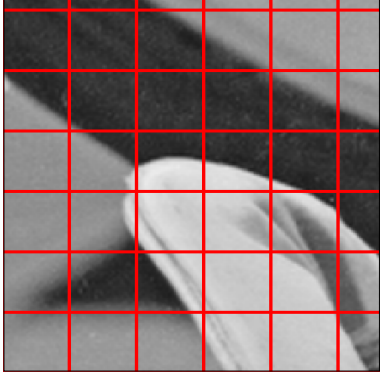
- Comité JPEG 1990.
- Utilisation d'une base de DCT-4 par bloc de taille 8×8 :
$$\{\cos(k_1\pi(x_1 + 1/2)) \times \cos(k_2\pi(x_2 + 1/2))\}_{(k_1, k_2) \in [0, 7]}$$
- Décomposition dans la base + quantification + codage d'Huffman.

JPEG



- Comité JPEG 1990.
- Utilisation d'une base de DCT-4 par bloc de taille 8×8 :
$$\{\cos(k_1\pi(x_1 + 1/2)) \times \cos(k_2\pi(x_2 + 1/2))\}_{(k_1, k_2) \in [0,7]}$$
- Décomposition dans la base + quantification + codage d'Huffman.
- + Masquage perceptuel.

JPEG



- Comité JPEG 1990.
- Utilisation d'une base de DCT-4 par bloc de taille 8×8 :
$$\{\cos(k_1\pi(x_1 + 1/2)) \times \cos(k_2\pi(x_2 + 1/2))\}_{(k_1, k_2) \in [0, 7]}$$
- Décomposition dans la base + quantification + codage d'Huffman.
- + Masquage perceptuel.
- Énorme succès!!!

Compression par transformée

Compression par transformée

- Compression par transformée = transformation + quantification + codage entropique.

Compression par transformée

- Compression par transformée = transformation + quantification + codage entropique.

- $$f_R = \sum_{Q(\langle f, g_m \rangle) \neq 0} Q(\langle f, g_m \rangle) g_m \quad .$$

Compression par transformée

- Compression par transformée = transformation + quantification + codage entropique.

$$f_R = \sum Q(\langle f, g_m \rangle) g_m = \sum_{Q(\langle f, g_m \rangle) \neq 0} Q(\langle f, g_m \rangle) g_m .$$

$$\|f - f_R\|^2 = \sum_{Q(\langle f, g_m \rangle) \neq 0} (\langle f, g_m \rangle - Q(\langle f, g_m \rangle))^2 + \sum_{Q(\langle f, g_m \rangle) = 0} \langle f, g_m \rangle^2 .$$

Compression par transformée

- Compression par transformée = transformation + quantification + codage entropique.

$$f_R = \sum_{Q(\langle f, g_m \rangle) \neq 0} Q(\langle f, g_m \rangle) g_m .$$

$$\|f - f_R\|^2 = \sum_{Q(\langle f, g_m \rangle) \neq 0} (\langle f, g_m \rangle - Q(\langle f, g_m \rangle))^2 + \sum_{Q(\langle f, g_m \rangle) = 0} \langle f, g_m \rangle^2 .$$

- Erreur de quantification + Erreur d'approximation.

Compression par transformée

- Compression par transformée = transformation + quantification + codage entropique.

$$f_R = \sum Q(\langle f, g_m \rangle) g_m = \sum_{Q(\langle f, g_m \rangle) \neq 0} Q(\langle f, g_m \rangle) g_m .$$

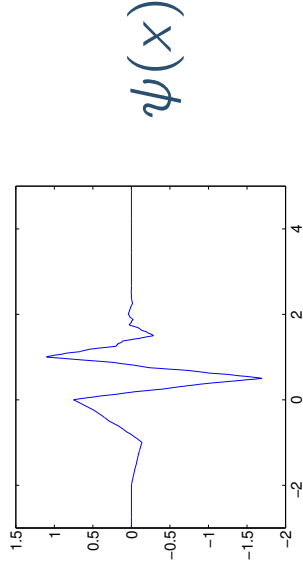
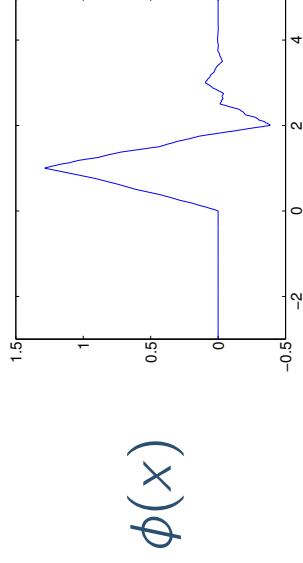
$$\|f - f_R\|^2 = \sum_{Q(\langle f, g_m \rangle) \neq 0} (\langle f, g_m \rangle - Q(\langle f, g_m \rangle))^2 + \sum_{Q(\langle f, g_m \rangle) = 0} \langle f, g_m \rangle^2 .$$

- Erreur de quantification + Erreur d'approximation.
- Quantification uniforme de pas Δ avec boîte 0 de taille double :
 - $\|f - f_R\|^2 = M\Delta^2/12 + \|f - f_M\|^2$
 - $R = M(C_1 + C_2 \log(M/N))$.

Base d'ondelettes 1D de $L^2[0, 1]$

Base d'ondelettes 1D de $L^2[0, 1]$

- Construite à partir d'une fonction d'échelle $\phi(x)$ et d'une ondelette mère $\psi(x)$

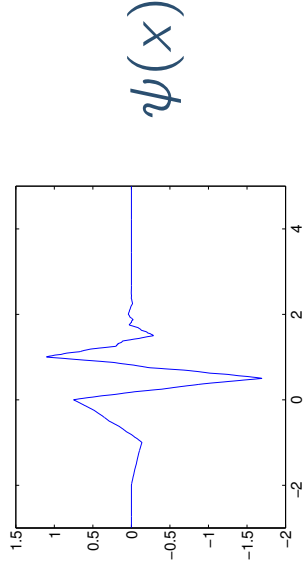
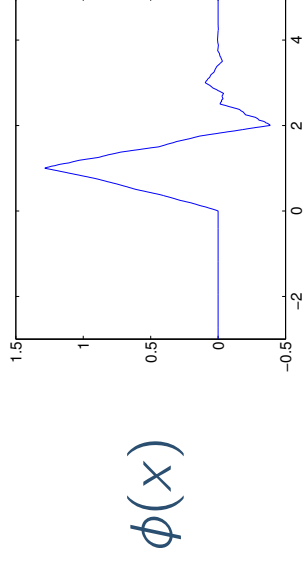


qui sont dilatées par 2^j et translatées de $2^j n$

$$\phi_{j,n}(x) = \frac{1}{\sqrt{2^j}} \phi\left(\frac{x - 2^j n}{2^j}\right) \quad , \quad \psi_{j,n}(x) = \frac{1}{\sqrt{2^j}} \psi\left(\frac{x - 2^j n}{2^j}\right)$$

Base d'ondelettes 1D de $L^2[0, 1]$

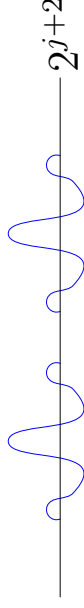
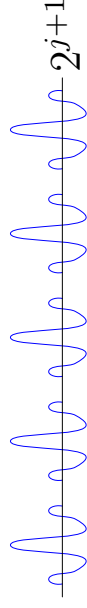
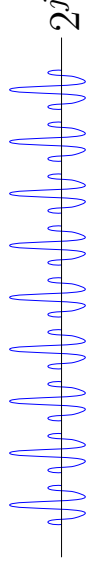
- Construite à partir d'une fonction d'échelle $\phi(x)$ et d'une ondelette mère $\psi(x)$



qui sont dilatées par 2^j et traduites de $2^j n$

$$\phi_{j,n}(x) = \frac{1}{\sqrt{2^j}} \phi\left(\frac{x - 2^j n}{2^j}\right), \quad \psi_{j,n}(x) = \frac{1}{\sqrt{2^j}} \psi\left(\frac{x - 2^j n}{2^j}\right)$$

- $\mathbf{B} = \left\{ \psi_{j,n} \right\}_{j \in \mathbb{N}, 2^j n \in [0,1]}$ est une base orthonormale de $L^2[0, 1]$.



FWT

FWT

- Algorithme rapide proposé par Mallat (89).

FWT

- Algorithme rapide proposé par Mallat (89).
- Récursion et sous-échantillonnage.

FWT

- Algorithme rapide proposé par Mallat (89).
- Récursion et sous-échantillonnage.

• Multirésolution :

$$\begin{aligned}\phi_{j+1,l}(x) &= \sum_k g[-k]\phi_{j,2l+k}(x) & \implies \langle f, \phi_{j+1,l} \rangle &= \sum_k g[-k]\langle f, \phi_{j,2l+k} \rangle \\ \psi_{j+1,l}(x) &= \sum_k h[-k]\phi_{j,2l+k}(x) & \implies \langle f, \psi_{j+1,l} \rangle &= \sum_k h[-k]\langle f, \phi_{j,2l+k} \rangle\end{aligned}$$

FWT

- Algorithme rapide proposé par Mallat (89).
- Récursion et sous-échantillonnage.

• Multirésolution :

$$\phi_{j+1,l}(x) = \sum_k g[-k] \phi_{j,2l+k}(x) \implies \langle f, \phi_{j+1,l} \rangle = \sum_k g[-k] \langle f, \phi_{j,2l+k} \rangle$$

$$\psi_{j+1,l}(x) = \sum_k h[-k] \phi_{j,2l+k}(x) \implies \langle f, \psi_{j+1,l} \rangle = \sum_k h[-k] \langle f, \phi_{j,2l+k} \rangle$$

- Calcul des 2^{-j} coefficients à l'échelle 2^j = convolution : $K2^{-j}$ opérations où K dépend au support des filtres g et h .

FWT

- Algorithme rapide proposé par Mallat (89).
- Récursion et sous-échantillonnage.

• Multirésolution :

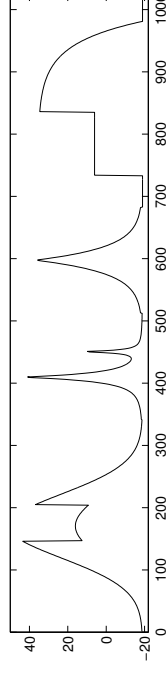
$$\phi_{j+1,l}(x) = \sum_k g[-k]\phi_{j,2l+k}(x) \implies \langle f, \phi_{j+1,l} \rangle = \sum_k g[-k]\langle f, \phi_{j,2l+k} \rangle$$

$$\psi_{j+1,l}(x) = \sum_k h[-k]\phi_{j,2l+k}(x) \implies \langle f, \psi_{j+1,l} \rangle = \sum_k h[-k]\langle f, \phi_{j,2l+k} \rangle$$

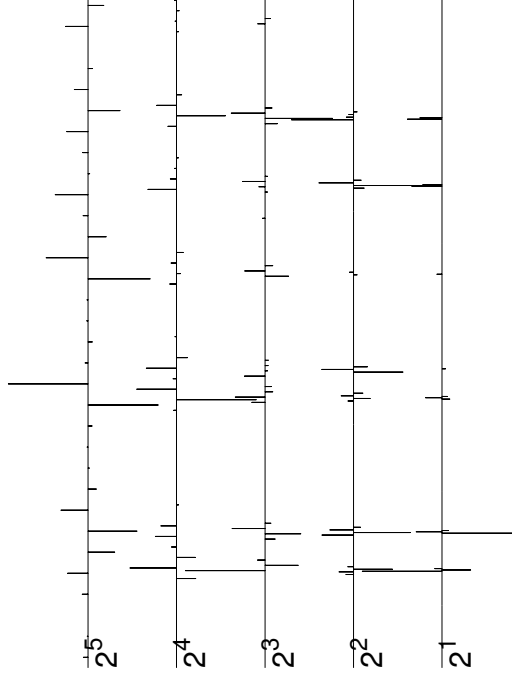
- Calcul des 2^{-j} coefficients à l'échelle 2^j = convolution : $K2^{-j}$ opérations où K dépend au support des filtres g et h .
- Coût total : $O(N)$ (l'échelle fine domine).

Approximation non linéaire en ondelettes

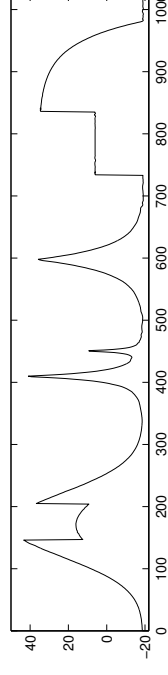
Approximation non linéaire en ondelettes



f

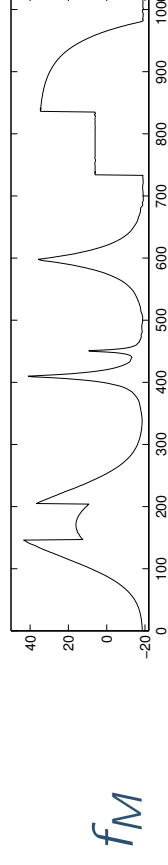
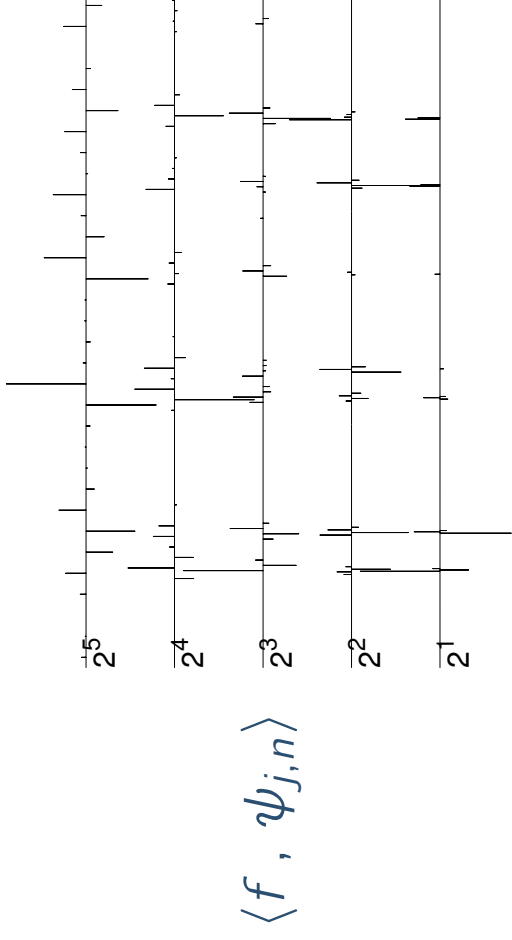
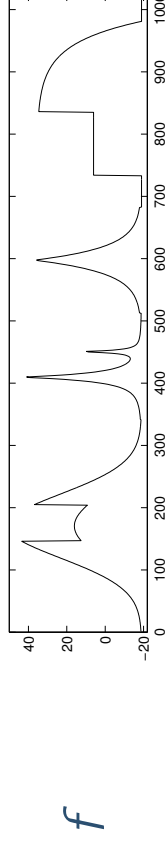


$\langle f, \psi_{j,n} \rangle$



f_M

Approximation non linéaire en ondelettes



• Si f est \mathbf{C}^α par morceaux et ψ a $p > \alpha$ moments nuls alors

$$\|f - f_M\|^2 = O(M^{-2\alpha}) .$$

Base d'ondelettes 2D séparables

Base d'ondelettes 2D séparables

- La famille

$$\left\{ \begin{array}{l} \phi_{j,n_1}(x_1) \psi_{j,n_2}(x_2) \quad , \quad \psi_{j,n_1}(x_1) \phi_{j,n_2}(x_2) \\ \psi_{j,n_1}(x_1) \psi_{j,n_2}(x_2) \end{array} \right\}_{(j,n_1,n_2) \in \mathbb{Z}^3}$$

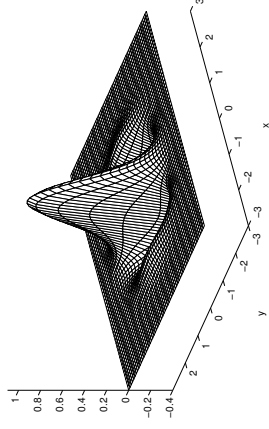
forme une base orthonormée de $L^2[0, 1]^2$.

Base d'ondelettes 2D séparables

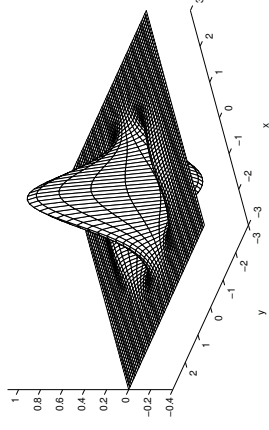
La famille

$$\left\{ \begin{array}{l} \phi_{j,n_1}(x_1) \psi_{j,n_2}(x_2) \quad , \quad \psi_{j,n_1}(x_1) \phi_{j,n_2}(x_2) \\ \psi_{j,n_1}(x_1) \psi_{j,n_2}(x_2) \end{array} \right\}_{(j,n_1,n_2) \in \mathbb{Z}^3}$$

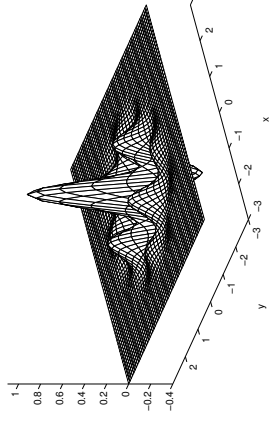
forme une base orthonormée de $L^2[0, 1]^2$.



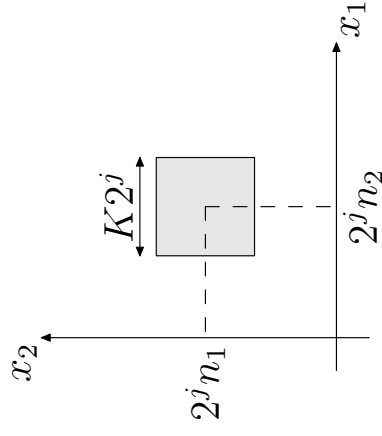
$$\phi_{j,n_1}(x_1) \psi_{j,n_2}(x_2)$$



$$\psi_{j,n_1}(x_1) \phi_{j,n_2}(x_2)$$



$$\psi_{j,n_1}(x_1) \psi_{j,n_2}(x_2)$$



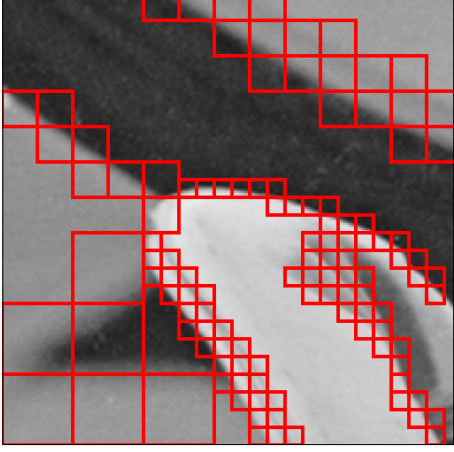
Support
des ondelettes
isotropes

JPEG 2000

JPEG 2000

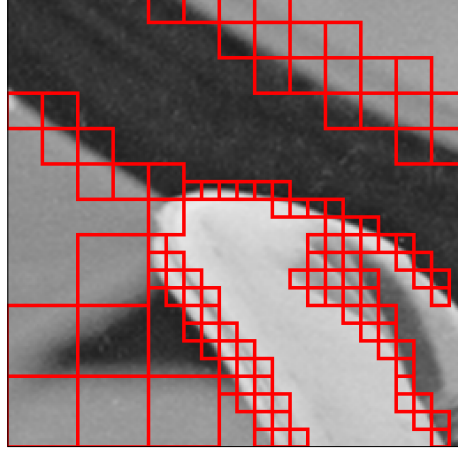
- Comité JPEG 2000 : premier jet (Décembre 2000), version définitive (Août 2002).

JPEG 2000



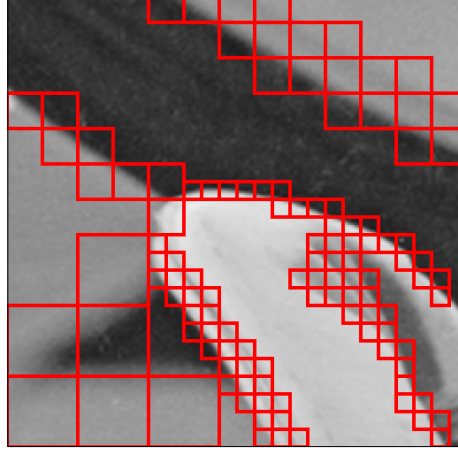
- Comité JPEG 2000 : premier jet (Décembre 2000), version définitive (Août 2002).
- Basé sur le codeur EBCOT (Taubman) : transformée en ondelettes, codage par plan de bits des différentes sous-bandes.

JPEG 2000



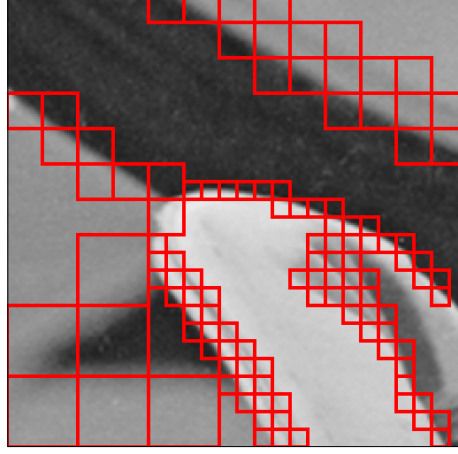
- Comité JPEG 2000 : premier jet (Décembre 2000), version définitive (Août 2002).
- Basé sur le codeur EBCOT (Taubman) : transformée en ondelettes, codage par plan de bits des différentes sous-bandes.
- Beaucoup plus fin que le codeur JPEG avec plus de possibilités (échelonnabilité, région d'intérêt,...).

JPEG 2000



- Comité JPEG 2000 : premier jet (Décembre 2000), version définitive (Août 2002).
- Basé sur le codeur EBCOT (Taubman) : transformée en ondelettes, codage par plan de bits des différentes sous-bandes.
- Beaucoup plus fin que le codeur JPEG avec plus de possibilités (échelonnabilité, région d'intérêt,...).
- Amélioration en terme de qualité vis à vis de JPEG.

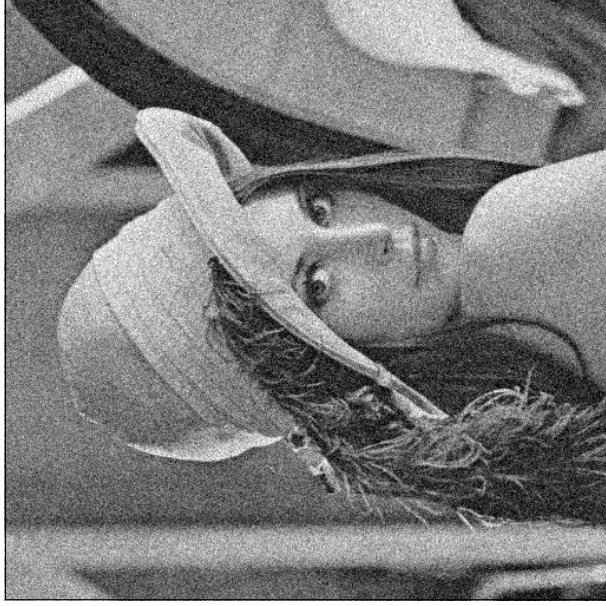
JPEG 2000



- Comité JPEG 2000 : premier jet (Décembre 2000), version définitive (Août 2002).
- Basé sur le codeur EBCOT (Taubman) : transformée en ondelettes, codage par plan de bits des différentes sous-bandes.
- Beaucoup plus fin que le codeur JPEG avec plus de possibilités (échelonnabilité, région d'intérêt,...).
- Amélioration en terme de qualité vis à vis de JPEG.
- Pas encore *grand public*.

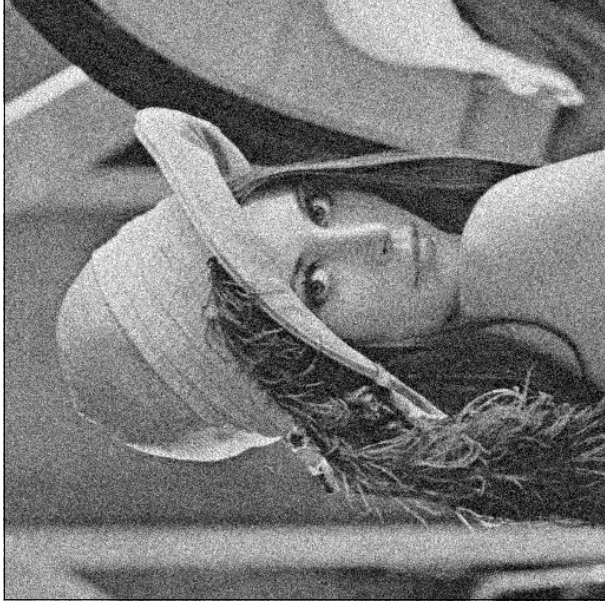
Débruitage

Débruitage



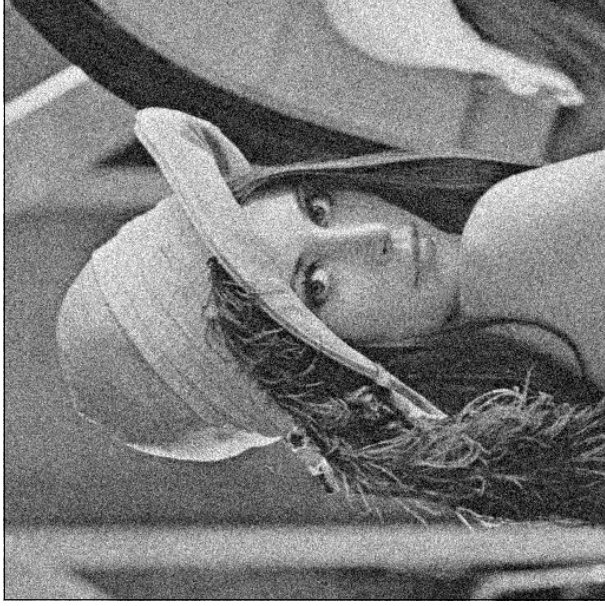
- Enlever un bruit gaussien d'une image.

Débruitage



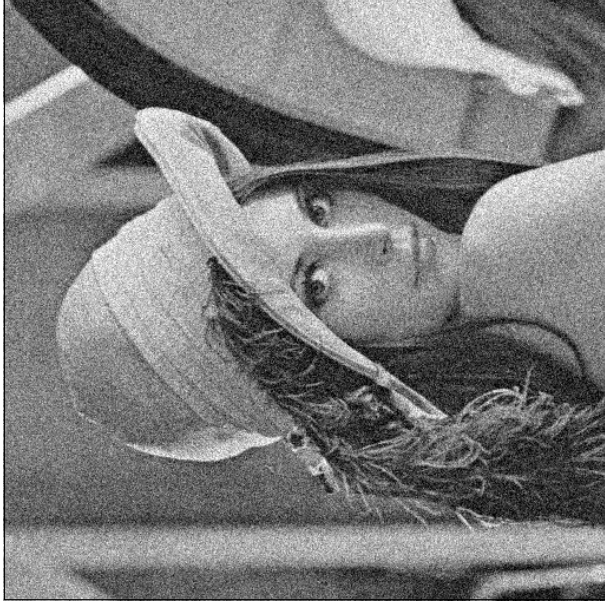
- Enlever un bruit gaussien d'une image.
- Utilisation statistique d'une base d'ondelettes par *Donoho et Johnstone* : 1993

Débruitage



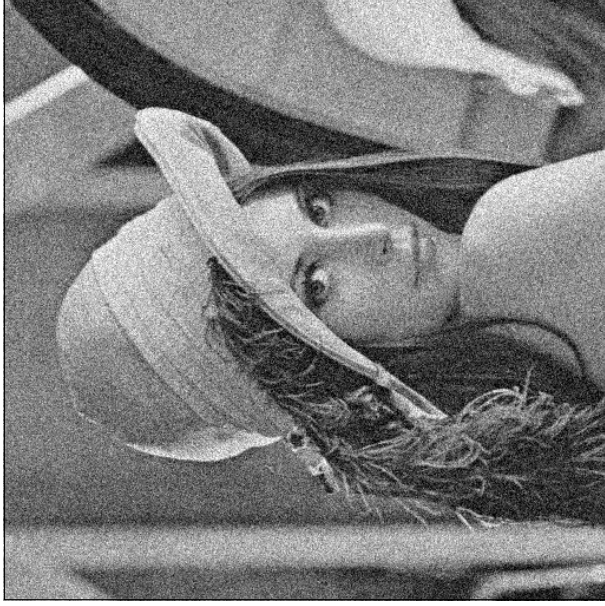
- Enlever un bruit gaussien d'une image.
- Utilisation statistique d'une base d'ondelettes par *Donoho et Johnstone* : 1993
- Méthode par seuillage \sim approximation non-linéaire.

Débruitage



- Enlever un bruit gaussien d'une image.
- Utilisation statistique d'une base d'ondelettes par *Donoho et Johnstone* : 1993
- Méthode par seuillage \sim approximation non-linéaire.
- Erreur d'approximation non-linéaire optimale : erreur d'estimation optimale.

Débruitage



- Enlever un bruit gaussien d'une image.
- Utilisation statistique d'une base d'ondelettes par *Donoho et Johnstone* : 1993
- Méthode par seuillage \sim approximation non-linéaire.
- Erreur d'approximation non-linéaire optimale : erreur d'estimation optimale.
- Invariance par translation pour améliorer les résultats.

Estimation et modèle de bruit blanc

Estimation et modèle de bruit blanc

- Modèle de bruit blanc avec un bruit de niveau ϵ

$$Y = f + \epsilon W$$

avec W gaussien.

Estimation et modèle de bruit blanc

- Modèle de bruit blanc avec un bruit de niveau ϵ

$$Y = f + \epsilon W$$

avec W gaussien.

- Propriétés de f : propriétés dans le domaine continu.

Estimation et modèle de bruit blanc

- Modèle de bruit blanc avec un bruit de niveau ϵ

$$Y = f + \epsilon W$$

avec W gaussien.

- Propriétés de f : propriétés dans le domaine continu.
- Estimateur F de f : fonction de Y .

Estimation et modèle de bruit blanc

- Modèle de bruit blanc avec un bruit de niveau ϵ

$$Y = f + \epsilon W$$

avec W gaussien.

- Propriétés de f : propriétés dans le domaine continu.
- Estimateur F de f : fonction de Y .
- Critère : risque quadratique

$$E(\|f - F\|^2)$$

Estimation dans une base

Estimation dans une base

- Décomposition de $Y = f + \epsilon W$ dans une base orthonormée

$$Y = \sum_{b_n} \langle Y, b_n \rangle b_n = \sum_{b_n} (\langle f, b_n \rangle + \epsilon \langle W, b_n \rangle) b_n \quad .$$

Estimation dans une base

- Décomposition de $Y = f + \epsilon W$ dans une base orthonormée

$$Y = \sum_{b_n} \langle Y, b_n \rangle b_n = \sum_{b_n} (\langle f, b_n \rangle + \epsilon \langle W, b_n \rangle) b_n .$$

- Expression des coefficients de f à partir de ceux de Y :

$$\langle f, b_n \rangle = \langle Y, b_n \rangle - \epsilon \langle W, b_n \rangle$$

avec $\epsilon |\langle W, b_n \rangle| \simeq \epsilon$.

Estimation dans une base

- Décomposition de $Y = f + \epsilon W$ dans une base orthonormée

$$Y = \sum_{b_n} \langle Y, b_n \rangle b_n = \sum_{b_n} (\langle f, b_n \rangle + \epsilon \langle W, b_n \rangle) b_n .$$

- Expression des coefficients de f à partir de ceux de Y :

$$\langle f, b_n \rangle = \langle Y, b_n \rangle - \epsilon \langle W, b_n \rangle$$

avec $\epsilon |\langle W, b_n \rangle| \simeq \epsilon$.

- Estimateur des coefficients de f à partir de ceux de Y

$$\langle \hat{f}, b_n \rangle = w(n, \langle Y, b_n \rangle) \langle Y, b_n \rangle \simeq \langle f, b_n \rangle$$

Estimation dans une base

- Décomposition de $Y = f + \epsilon W$ dans une base orthonormée

$$Y = \sum_{b_n} \langle Y, b_n \rangle b_n = \sum_{b_n} (\langle f, b_n \rangle + \epsilon \langle W, b_n \rangle) b_n .$$

- Expression des coefficients de f à partir de ceux de Y :

$$\langle f, b_n \rangle = \langle Y, b_n \rangle - \epsilon \langle W, b_n \rangle$$

avec $\epsilon |\langle W, b_n \rangle| \simeq \epsilon$.

- Estimateur des coefficients de f à partir de ceux de Y

$$\langle \hat{f}, b_n \rangle = w(n, \langle Y, b_n \rangle) \langle Y, b_n \rangle \simeq \langle f, b_n \rangle$$

- Simplification $w(n, x) = 1$ ou $w(n, x) = 0$.

Estimation oracle dans une base

Estimation oracle dans une base

- Cas simpliste $\omega(n, x) = \mathbf{1}_{n \in \Gamma}$ (indépendant de x).

Estimation oracle dans une base

- Cas simpliste $\omega(n, x) = \mathbf{1}_{n \in \Gamma}$ (indépendant de x).
- Estimateur F par sélection de coordonnées :

$$F = Y_{\Gamma} = \sum_{n \in \Gamma} \langle Y, b_n \rangle b_n \quad .$$

Estimation oracle dans une base

- Cas simpliste $\omega(n, x) = \mathbf{1}_{n \in \Gamma}$ (indépendant de x).
- Estimateur F par sélection de coordonnées :

$$F = Y_{\Gamma} = \sum_{n \in \Gamma} \langle Y, b_n \rangle b_n \quad .$$

- Minimisation du risque quadratique :

$$E(\|f - F\|^2) = \sum_{n \notin \Gamma} |\langle f, b_n \rangle|^2 + \sum_{n \in \Gamma} \epsilon^2 \quad .$$

Estimation oracle dans une base

- Cas simpliste $\omega(n, x) = \mathbf{1}_{n \in \Gamma}$ (indépendant de x).
- Estimateur F par sélection de coordonnées :

$$F = Y_{\Gamma} = \sum_{n \in \Gamma} \langle Y, b_n \rangle b_n \quad .$$

- Minimisation du risque quadratique :

$$E(\|f - F\|^2) = \sum_{n \notin \Gamma} |\langle f, b_n \rangle|^2 + \sum_{n \in \Gamma} \epsilon^2 \quad .$$

- Solution : $\Gamma_0 = \{n, |\langle f, b_n \rangle| \geq \epsilon\}$ et $F_0 = Y_{\Gamma_0}$.

Estimation oracle dans une base

- Cas simpliste $\omega(n, x) = \mathbf{1}_{n \in \Gamma}$ (indépendant de x).
- Estimateur F par sélection de coordonnées :

$$F = Y_{\Gamma} = \sum_{n \in \Gamma} \langle Y, b_n \rangle b_n \quad .$$

- Minimisation du risque quadratique :

$$E(\|f - F\|^2) = \sum_{n \notin \Gamma} |\langle f, b_n \rangle|^2 + \sum_{n \in \Gamma} \epsilon^2 \quad .$$

- Solution : $\Gamma_0 = \{n, |\langle f, b_n \rangle| \geq \epsilon\}$ et $F_0 = Y_{\Gamma_0}$.
- Problème : demande la connaissance de f ! (Oracle \neq estimateur)

Oracle, risque et approximation

Oracle, risque et approximation

- Risque quadratique de l'estimateur oracle F_0 :

$$E(\|f - F_0\|^2) = \sum_{n \notin \Gamma_0} |\langle f, b_n \rangle|^2 + \sum_{n \in \Gamma_0} \epsilon^2$$

$$E(\|f - F_0\|^2) = \|f - f_{\Gamma_0}\|^2 + \epsilon^2 |\Gamma_0| \quad .$$

Oracle, risque et approximation

- Risque quadratique de l'estimateur oracle F_O :

$$E(\|f - F_O\|^2) = \sum_{n \notin \Gamma_O} |\langle f, b_n \rangle|^2 + \sum_{n \in \Gamma_O} \epsilon^2$$

$$E(\|f - F_O\|^2) = \|f - f_{\Gamma_O}\|^2 + \epsilon^2 |\Gamma_O| \quad .$$

- Compromis entre erreur d'approximation et nombre de termes.

Oracle, risque et approximation

- Risque quadratique de l'estimateur oracle F_O :

$$E(\|f - F_O\|^2) = \sum_{n \notin \Gamma_O} |\langle f, b_n \rangle|^2 + \sum_{n \in \Gamma_O} \epsilon^2$$

$$E(\|f - F_O\|^2) = \|f - f_{\Gamma_O}\|^2 + \epsilon^2 |\Gamma_O| \quad .$$

- Compromis entre erreur d'approximation et nombre de termes.
- Théorie de l'approximation :

$$E(\|f - F_O\|^2) = \|f - f_{\Gamma_O}\|^2 + \epsilon^2 |\Gamma_O| \leq C \left(\epsilon^2 \right)^{\frac{\beta}{\beta+1}} \\ \Leftrightarrow \|f - f_M\|^2 \leq CM^{-\beta} \Leftrightarrow f \in \mathcal{A}^\beta \quad .$$

Oracle, risque et approximation

- Risque quadratique de l'estimateur oracle F_O :

$$E(\|f - F_O\|^2) = \sum_{n \notin \Gamma_O} |\langle f, b_n \rangle|^2 + \sum_{n \in \Gamma_O} \epsilon^2$$

$$E(\|f - F_O\|^2) = \|f - f_{\Gamma_O}\|^2 + \epsilon^2 |\Gamma_O| .$$

- Compromis entre erreur d'approximation et nombre de termes.
- Théorie de l'approximation :

$$E(\|f - F_O\|^2) = \|f - f_{\Gamma_O}\|^2 + \epsilon^2 |\Gamma_O| \leq C (\epsilon^2)^{\frac{\beta}{\beta+1}} \\ \Leftrightarrow \|f - f_M\|^2 \leq CM^{-\beta} \Leftrightarrow f \in \mathcal{A}^\beta .$$

- Pour Θ , classe de fonctions, quelle base donne $\Theta \subset \mathcal{A}^\beta$ avec β optimal ? $((\epsilon^2)^{\frac{\beta}{\beta+1}}$ vitesse minimax).

Estimateur par seuillage

Estimateur par seuillage

• Oracle : $\Gamma_0 = \{n, |\langle f, b_n \rangle| \geq \epsilon\}$ et $F_0 = Y_{\Gamma_0}$.

Estimateur par seuillage

- Oracle : $\Gamma_0 = \{n, |\langle f, b_n \rangle| \geq \epsilon\}$ et $F_0 = Y_{\Gamma_0}$.
- Stratégie : garder les grands coefficients.

Estimateur par seuillage

- Oracle : $\Gamma_0 = \{n, |\langle f, b_n \rangle| \geq \epsilon\}$ et $F_0 = Y_{\Gamma_0}$.
- Stratégie : garder les grands coefficients.
- Seuillage : $\Gamma_S = \{n, |\langle Y, b_n \rangle| \geq T(\epsilon)\}$ et $F_S = Y_{\Gamma_S}$.

Estimateur par seuillage

- Oracle : $\Gamma_0 = \{n, |\langle f, b_n \rangle| \geq \epsilon\}$ et $F_0 = Y_{\Gamma_0}$.
- Stratégie : garder les grands coefficients.
- Seuillage : $\Gamma_S = \{n, |\langle Y, b_n \rangle| \geq T(\epsilon)\}$ et $F_S = Y_{\Gamma_S}$.
- **Théorème (Donoho, Johnstone)** : Si $T(\epsilon) = \lambda \sqrt{|\log \epsilon|} \epsilon$, alors

$$E(\|f - F_S\|^2) \leq C |\log \epsilon| E(\|f - F_0\|^2)$$

$$E(\|f - F_S\|^2) \leq C \min_f \|f - f_f\|^2 + \lambda^2 |\log \epsilon| \epsilon^2 |\Gamma| \quad \text{plus fin.}$$

Estimateur par seuillage

- Oracle : $\Gamma_0 = \{n, |\langle f, b_n \rangle| \geq \epsilon\}$ et $F_0 = Y_{\Gamma_0}$.
- Stratégie : garder les grands coefficients.
- Seuillage : $\Gamma_S = \{n, |\langle Y, b_n \rangle| \geq T(\epsilon)\}$ et $F_S = Y_{\Gamma_S}$.
- **Théorème (Donoho, Johnstone)** : Si $T(\epsilon) = \lambda \sqrt{|\log \epsilon|} \epsilon$, alors

$$E(\|f - F_S\|^2) \leq C |\log \epsilon| E(\|f - F_0\|^2)$$

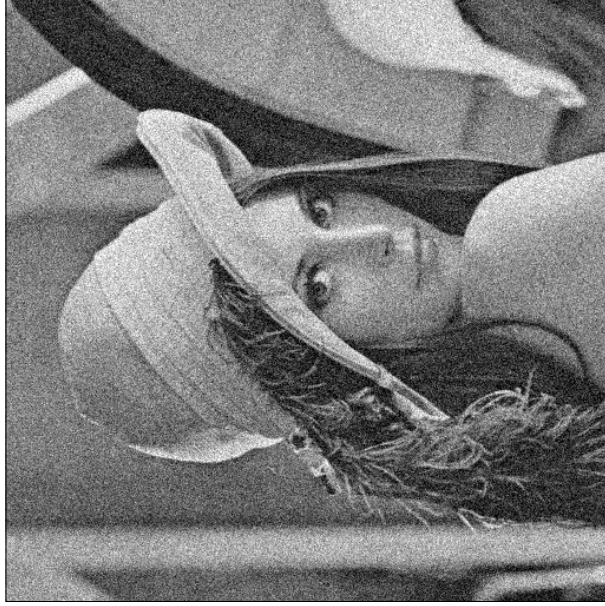
$$E(\|f - F_S\|^2) \leq C \min_f \|f - f_f\|^2 + \lambda^2 |\log \epsilon|^2 |\Gamma| \quad \text{plus fin.}$$

- Importance du choix de la base et de l'approximation non linéaire!

Originale



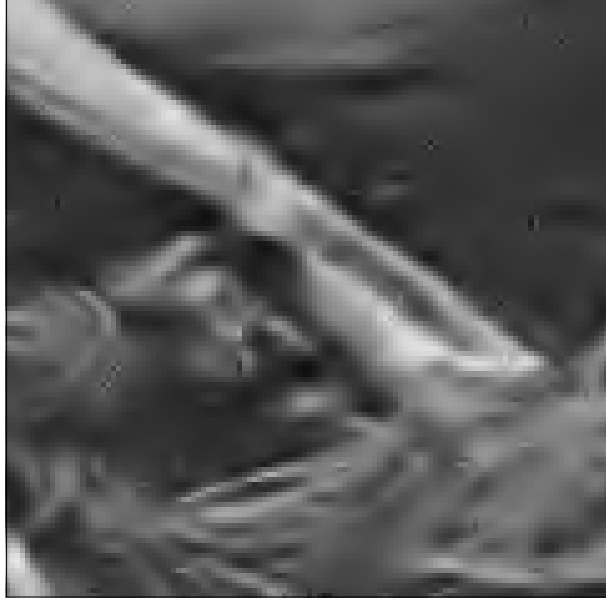
Bruitée (20,19 dB)



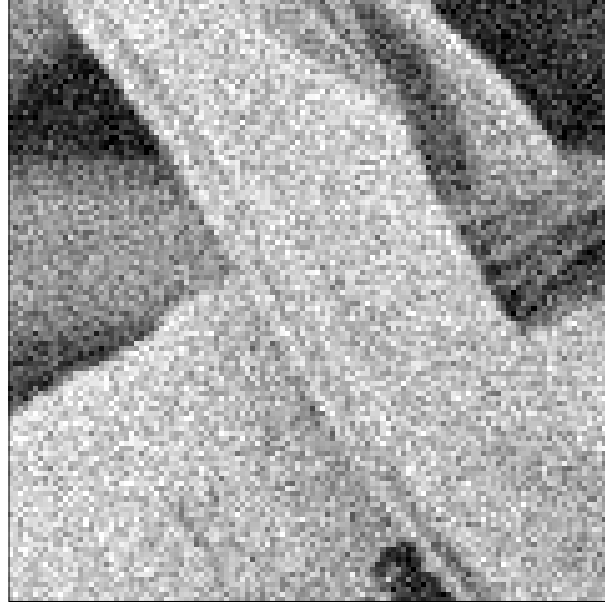
Ondelettes (28,21 dB)



Ondelettes



Bruitée



Succès et échecs des bases d'ondelettes

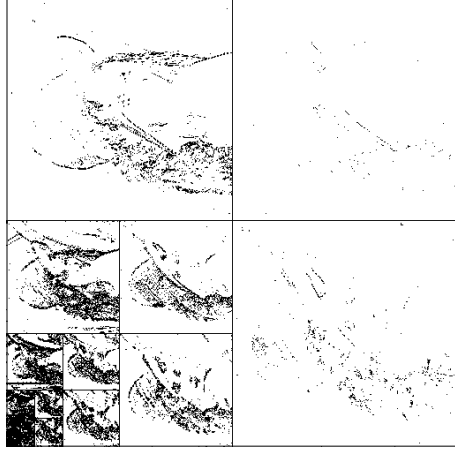
Succès et échecs des bases d'ondelettes

- Les images sont décomposées dans une base d'ondelettes 2D et les coefficients les plus grands sont conservés (JPEG-2000).

f



M plus grands coeff.



f_M



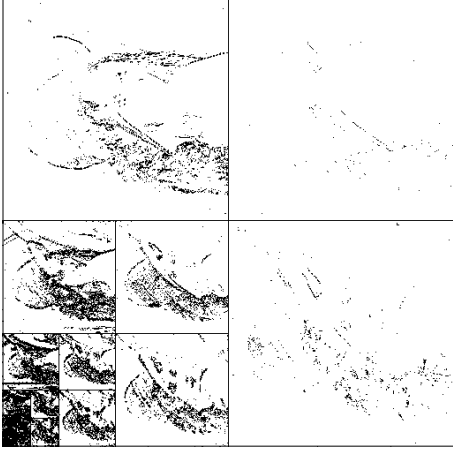
Succès et échecs des bases d'ondelettes

- Les images sont décomposées dans une base d'ondelettes 2D et les coefficients les plus grands sont conservés (JPEG-2000).

f



M plus grands coeff.



f_M



- (Cohen, DeVore, Petrushev, Xue) : Optimal pour les fonctions à variation bornée : $\|f - f_M\|^2 \leq C \|f\|_{TV} M^{-1}$.

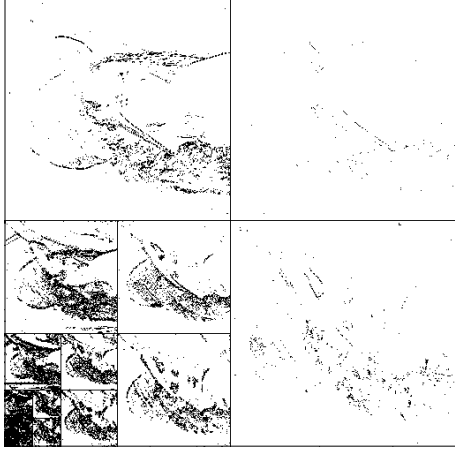
Succès et échecs des bases d'ondelettes

- Les images sont décomposées dans une base d'ondelettes 2D et les coefficients les plus grands sont conservés (JPEG-2000).

f



M plus grands coeff.



f_M

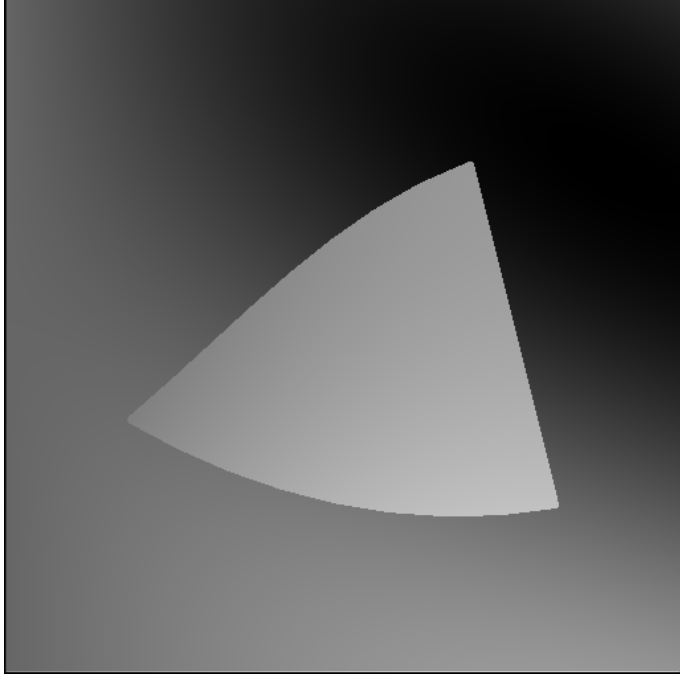


- (Cohen, DeVore, Petrushev, Xue) : Optimal pour les fonctions à variation bornée : $\|f - f_M\|^2 \leq C \|f\|_{TV} M^{-1}$.
- Mais ne prend avantage d'aucune sorte de régularité géométrique.

Ondelettes et géométrie

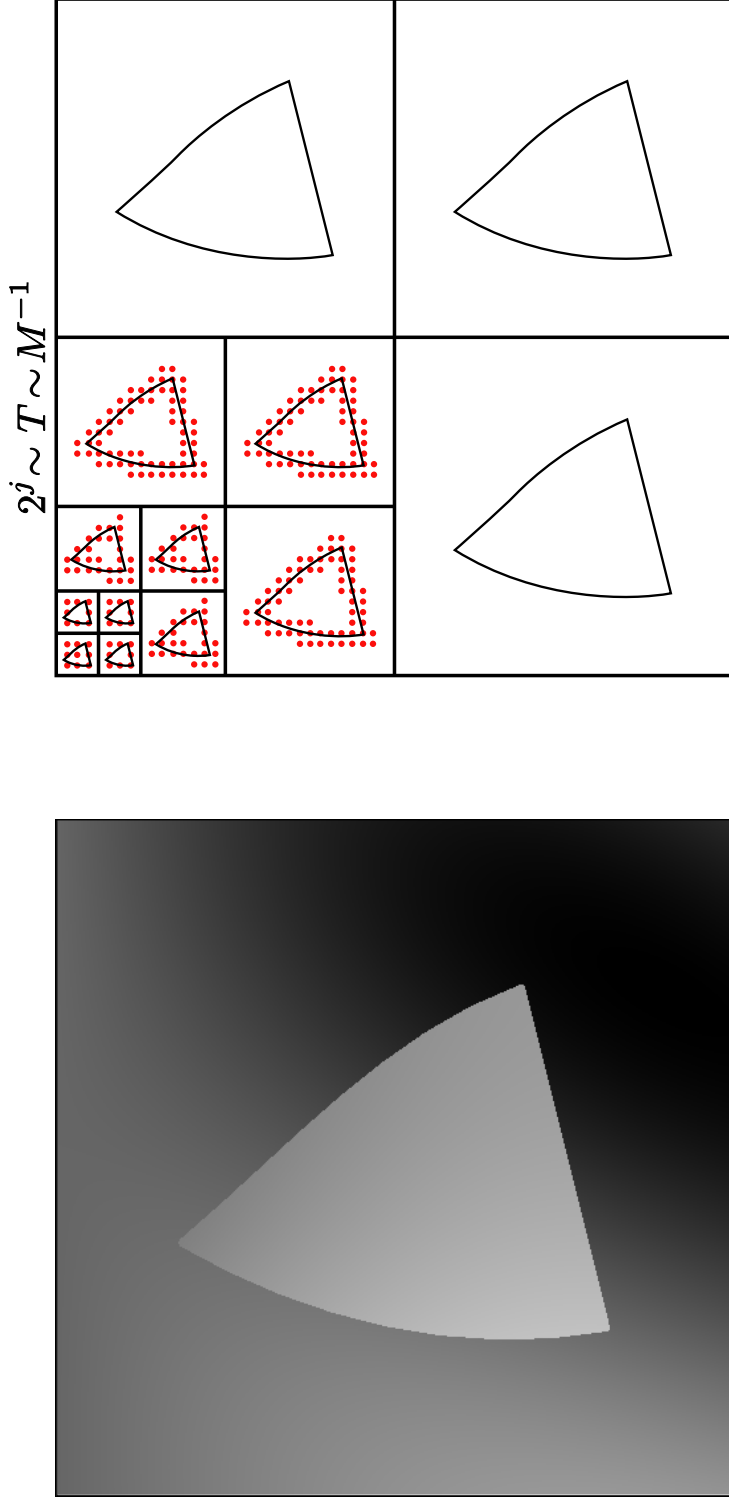
Ondelettes et géométrie

- Approximation de $f \in \mathbf{C}^\alpha$ en dehors de contours \mathbf{C}^α :



Ondelettes et géométrie

- Approximation de f \mathbf{C}^α en dehors de contours \mathbf{C}^α :

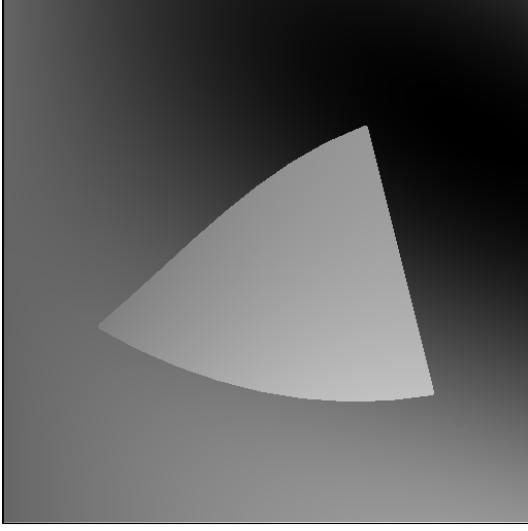


- Avec M ondelettes : $\|f - f_M\|^2 \leq C M^{-1}$.

Éléments géométriques et contours

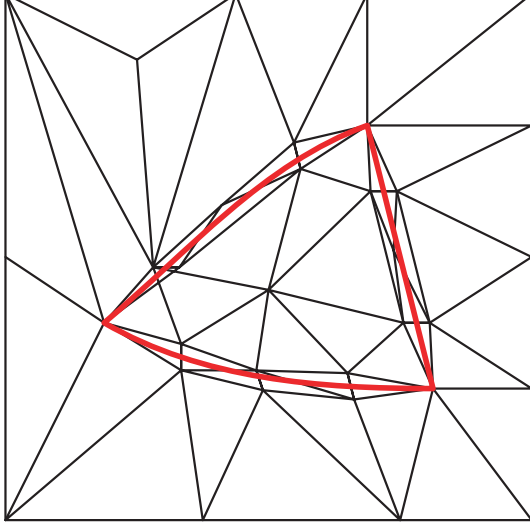
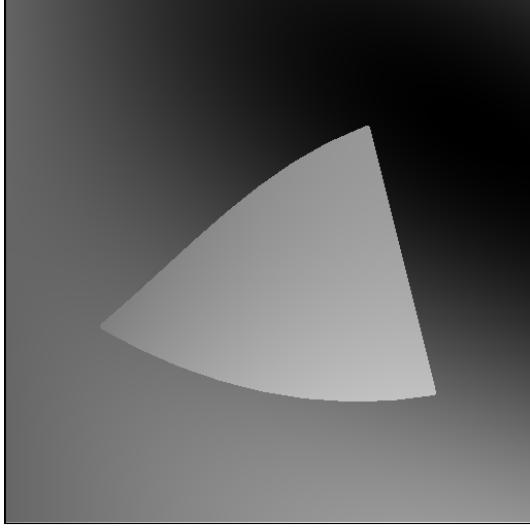
Éléments géométriques et contours

- Approximation de $f \in \mathbf{C}^\alpha$ en dehors de contours \mathbf{C}^α .

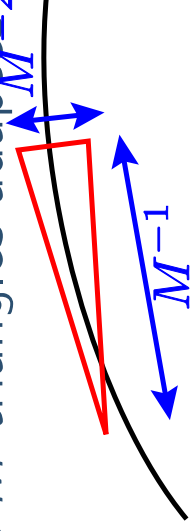


Éléments géométriques et contours

- Approximation de $f \in C^\alpha$ en dehors de contours C^α .

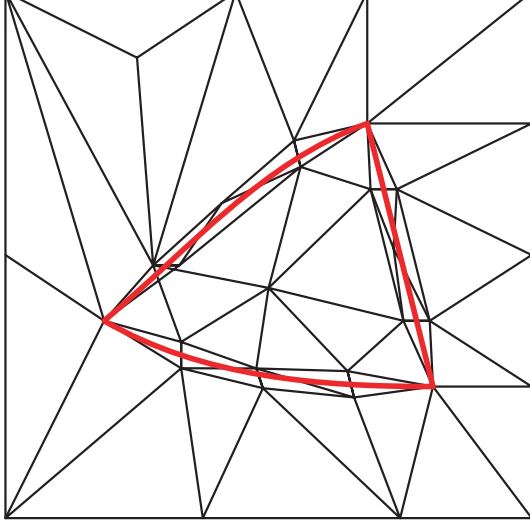
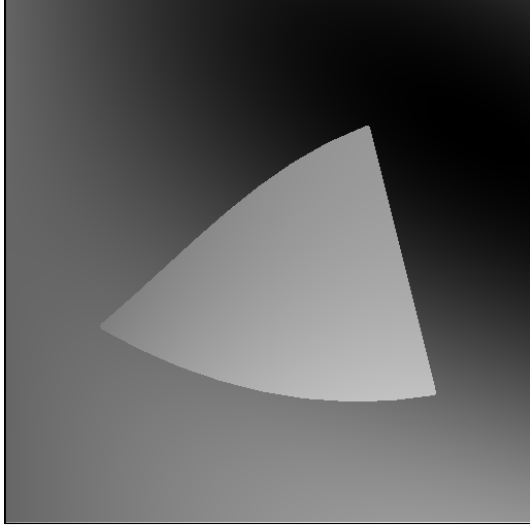


- Approximation linéaire par morceaux avec M triangles adaptés₂:
si $\alpha \geq 2$ alors $\|f - f_M\|^2 \leq C M^{-2}$,



Éléments géométriques et contours

- Approximation de $f \in \mathbf{C}^\alpha$ en dehors de contours \mathbf{C}^α .

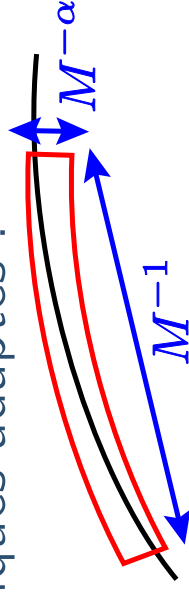


- Approximation linéaire par morceaux avec M triangles adaptés: M^{-2} ,
si $\alpha \geq 2$ alors $\|f - f_M\|^2 \leq C M^{-2}$,



- Approximation avec M éléments géométriques adaptés :

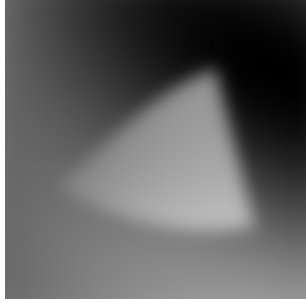
$$\|f - f_M\|^2 \leq C M^{-\alpha}.$$



Triangulation adaptative

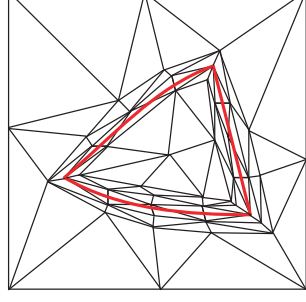
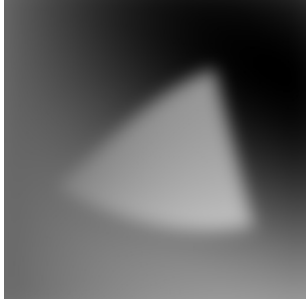
Triangulation adaptative

- Approximations de $f = \tilde{f} \star h_s$ avec :
- $f \in \mathbf{C}^\alpha$ en dehors de contours \mathbf{C}^α ($\alpha \geq 2$) :
- h_s un noyau régularisant de taille s

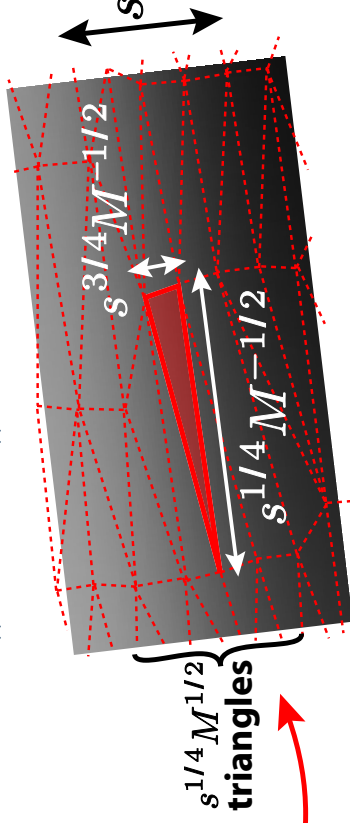
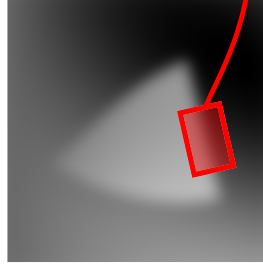


Triangulation adaptative

- Approximations de $f = \tilde{f} \star h_s$ avec :
- $f \mathbf{C}^\alpha$ en dehors de contours \mathbf{C}^α ($\alpha \geq 2$) :
- h_s un noyau régularisant de taille s

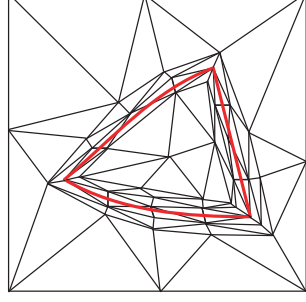
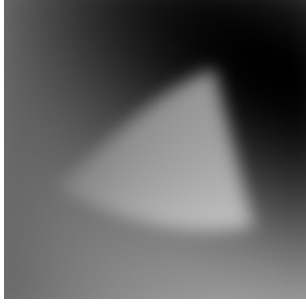


- Avec M triangles adaptatifs : $\|f - f_M\|^2 \leq C M^{-2}$.

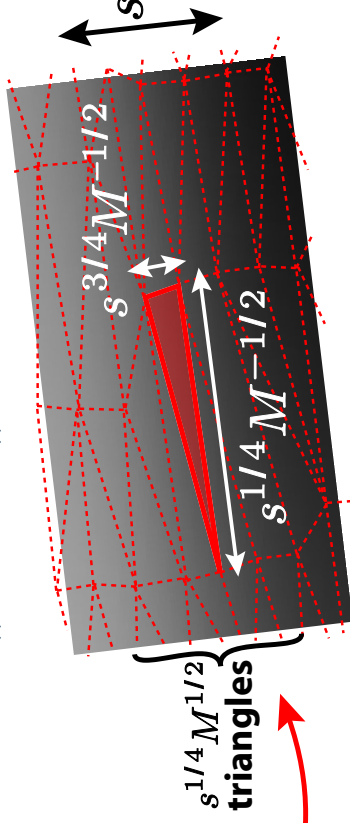
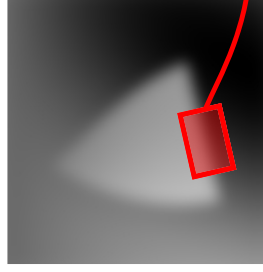


Triangulation adaptative

- Approximations de $f = \tilde{f} \star h_s$ avec :
- $f \mathbf{C}^\alpha$ en dehors de contours \mathbf{C}^α ($\alpha \geq 2$) :
- h_s un noyau régularisant de taille s



- Avec M triangles adaptatifs : $\|f - f_M\|^2 \leq C M^{-2}$.



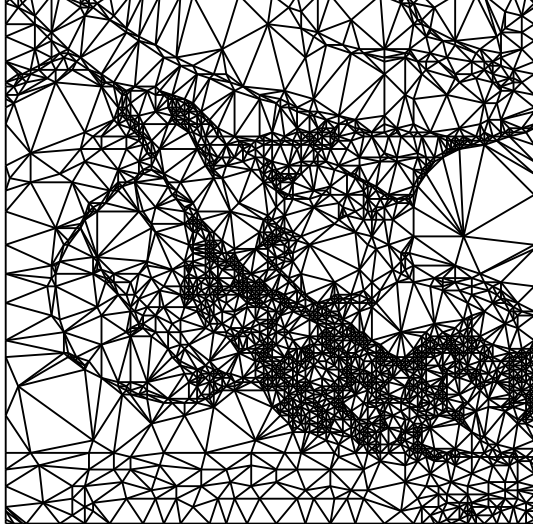
- Difficile d'obtenir une approximation optimale mais bonnes solutions avec des algorithmes gloutons (*Dekel, Demaret, Dyn, Iske, Cohen, Mirebeau*).

Résultats

Original



Triangulation



Ondelettes

0.15 bits par pixel



Triangulation

Curvelets

Curvelets

- Curvelets forment un *tight frame* de $L^2[0, 1]^2$ avec des éléments allongés et orientés (Candes, Donoho) : $\{c_j(R_{\theta}x - \eta)\}_{j,\theta,\eta}$



Curvelets

- Curvelets forment un *tight frame* de $L^2[0, 1]^2$ avec des éléments allongés et orientés (Candes, Donoho) : $\{c_j(R_{\theta}x - \eta)\}_{j,\theta,\eta}$



- Si f est \mathbf{C}^α en dehors de contours \mathbf{C}^α avec M curvelets :
si $\alpha \geq 2$ alors $\|f - f_M\|^2 \leq C (\log M)^3 M^{-2}$.

Curvelets

- Curvelets forment un *tight frame* de $L^2[0, 1]^2$ avec des éléments allongés et orientés (Candes, Donoho) : $\{c_j(R_{\theta}x - \eta)\}_{j,\theta,\eta}$



- Si f est \mathbf{C}^α en dehors de contours \mathbf{C}^α avec M curvelets :
si $\alpha \geq 2$ alors $\|f - f_M\|^2 \leq C (\log M)^3 M^{-2}$.
- Optimal pour $\alpha = 2$.

Curvelets

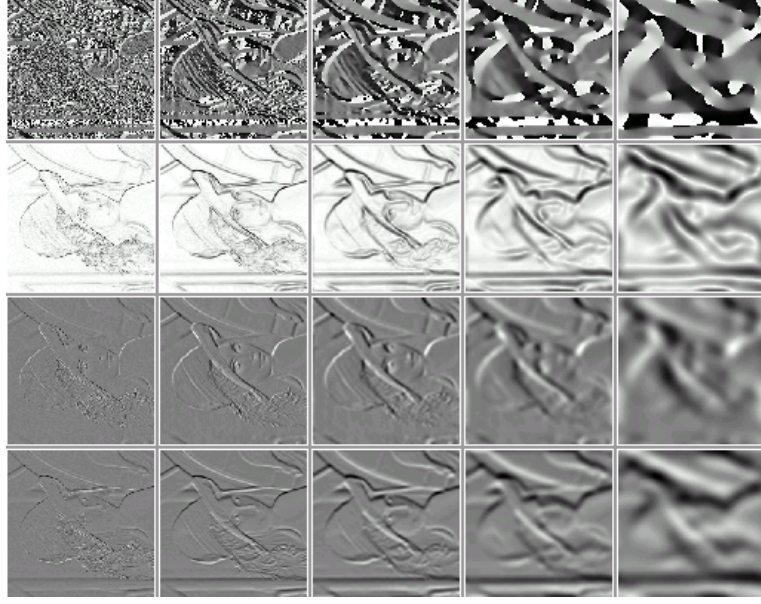
- Curvelets forment un *tight frame* de $L^2[0, 1]^2$ avec des éléments allongés et orientés (Candes, Donoho) : $\{c_j(R_{\theta}x - \eta)\}_{j,\theta,\eta}$



- Si f est \mathbf{C}^α en dehors de contours \mathbf{C}^α avec M curvelets :
si $\alpha \geq 2$ alors $\|f - f_M\|^2 \leq C (\log M)^3 M^{-2}$.
- Optimal pour $\alpha = 2$.
- Difficile de construire des bases (Vetterli & Minh Do).

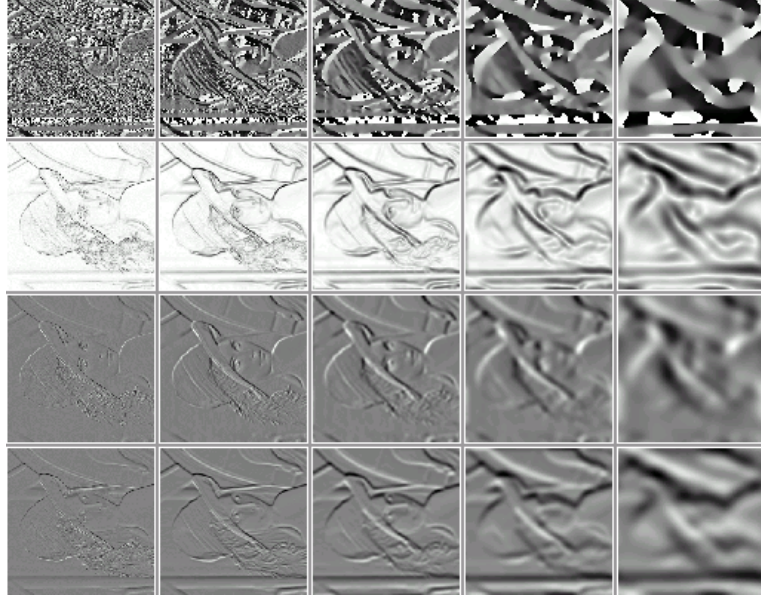
Ondelettes dyadiques

Ondelettes dyadiques



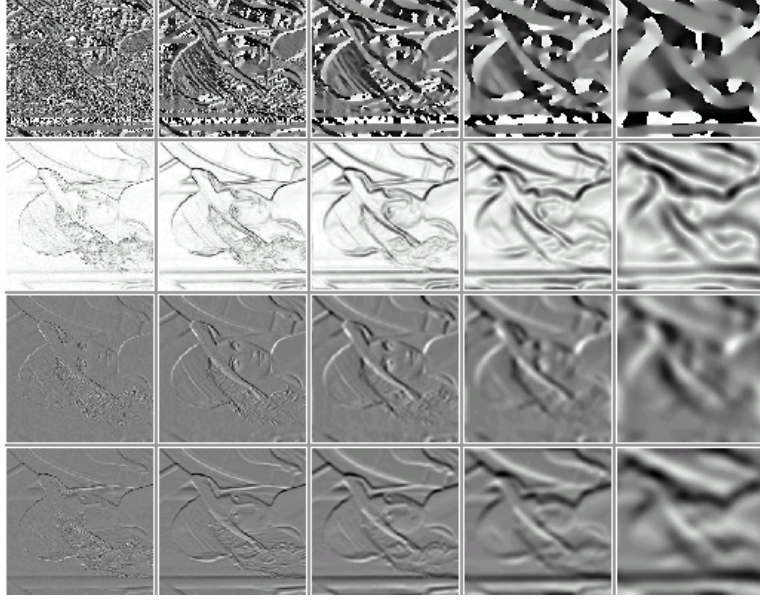
• Compression : redondance est un problème.

Ondelettes dyadiques



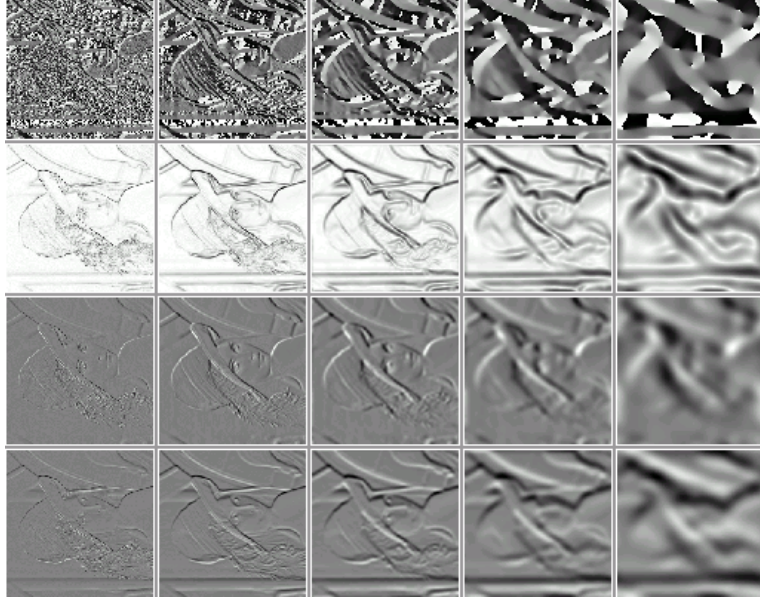
- Compression : redondance est un problème.
- Débruitage : redondance n'est pas un problème mais seulement la concentration de l'énergie du signal sur une faible portion des coefficients.

Ondelettes dyadiques



- Compression : redondance est un problème.
- Débruitage : redondance n'est pas un problème mais seulement la concentration de l'énergie du signal sur une faible portion des coefficients.
- Ondelettes dyadiques : suppression de la phase de sous-échantillonnage des ondelettes.

Ondelettes dyadiques



- Compression : redondance est un problème.
- Débruitage : redondance n'est pas un problème mais seulement la concentration de l'énergie du signal sur une faible portion des coefficients.
- Ondelettes dyadiques : suppression de la phase de sous-échantillonnage des ondelettes.
- Opérateur de filtrage classique ($f_j = f \star \psi_j$) / Algorithme à trous.

Algorithme à trous

Algorithme à trous

- Algorithme rapide en $O(N \log N)$ proposé par Bijaoui, Starck et Murtagh (1993)

Algorithme à trous

- Algorithme rapide en $O(N \log N)$ proposé par Bijaoui, Starck et Murtagh (1993)
- Suppression du sous-échantillonnage mais conservation du principe de la FWT.

Algorithme à trous

- Algorithme rapide en $O(N \log N)$ proposé par Bijaoui, Starck et Murtagh (1993)
- Suppression du sous-échantillonnage mais conservation du principe de la FWT.
- Sous échantillonnage se transforme en des ajouts de zéros dans les filtres :

$$\phi_{j+1}(x) = \sum_k g_j[-k] \phi_j(x-k) \implies f \star \phi_{j+1}(x) = \sum_k g_j[-k] f \star \phi_j(x+k)$$

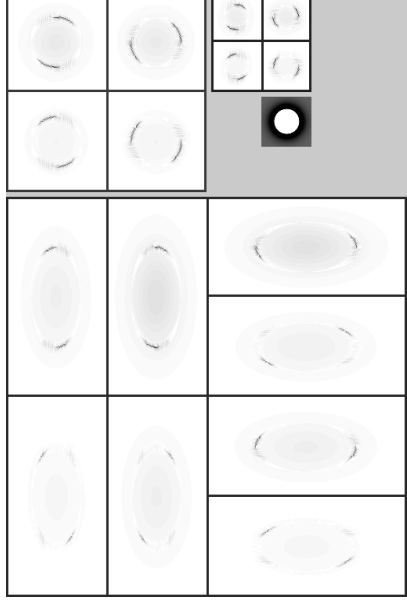
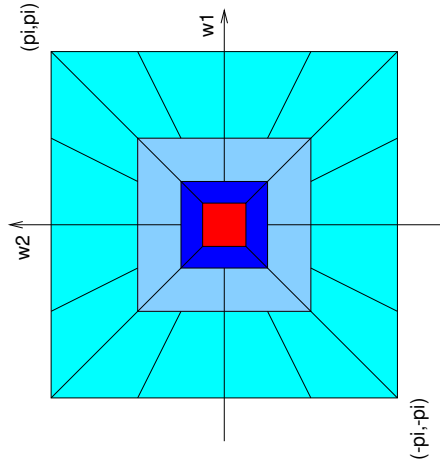
$$\psi_{j+1}(x) = \sum_k h_j[-k] \phi_j(x-k) \implies f \star \psi_{j+1}(x) = \sum_k h_j[-k] f \star \phi_j(x+k)$$

avec

$$g_j[k] = \begin{cases} g[l] & \text{si } k = l2^j \\ 0 & \text{sinon} \end{cases}$$

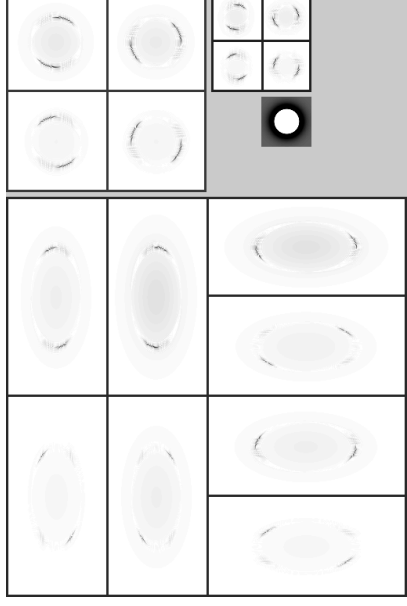
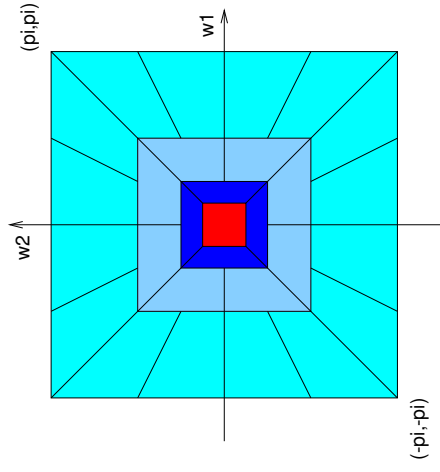
Filters orientés

Filtres orientés



● Redondance = liberté accrue pour la représentation.

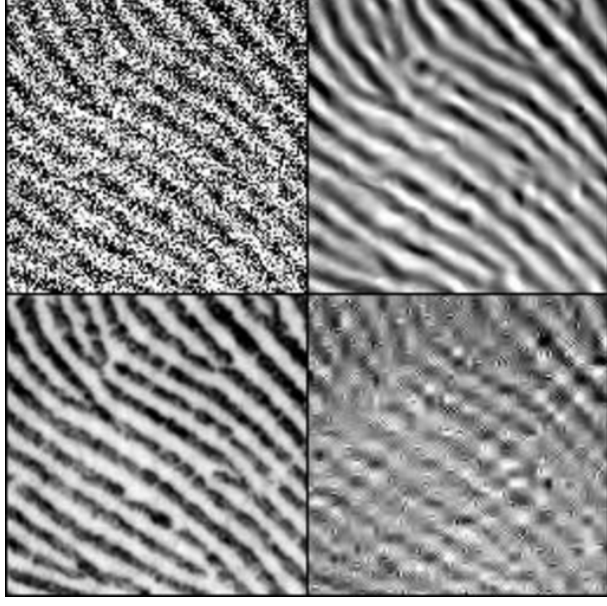
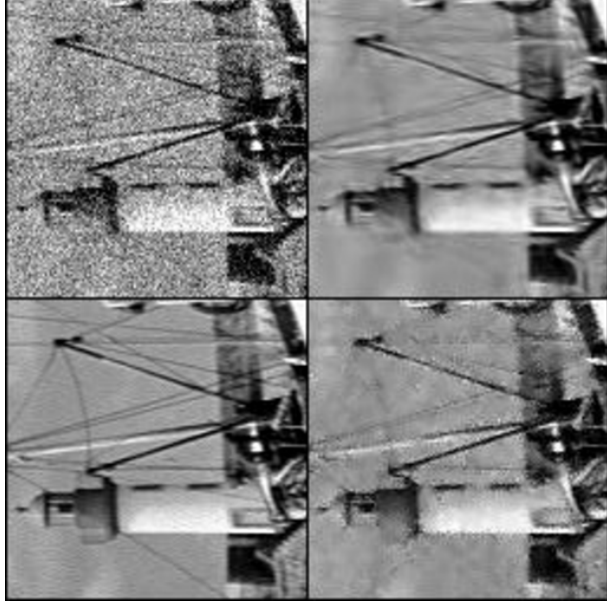
Filtres orientés



- Redondance = liberté accrue pour la représentation.
- Représentation géométrique par filtrage orienté : curvelets, contourlets, pyramide orientée,

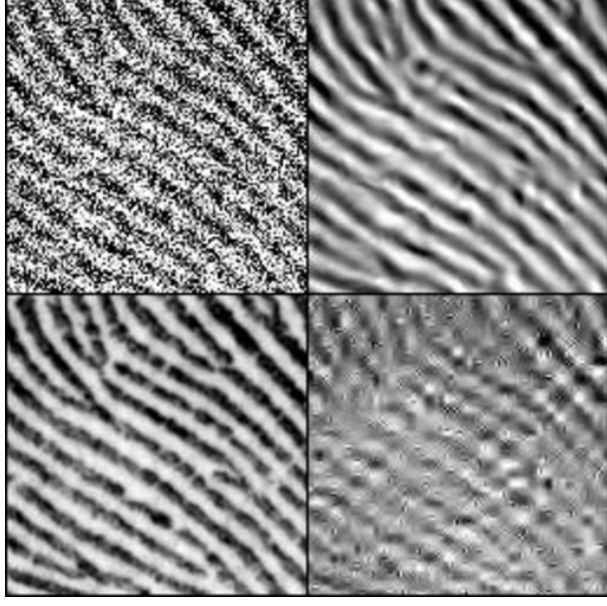
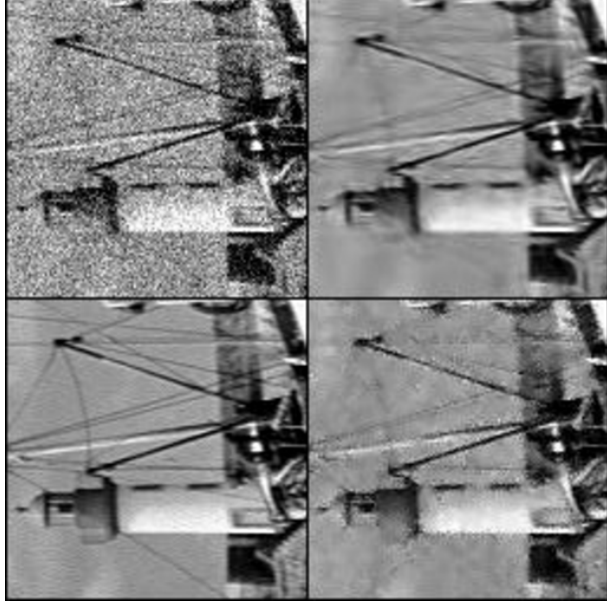
Débruitage

Débruitage



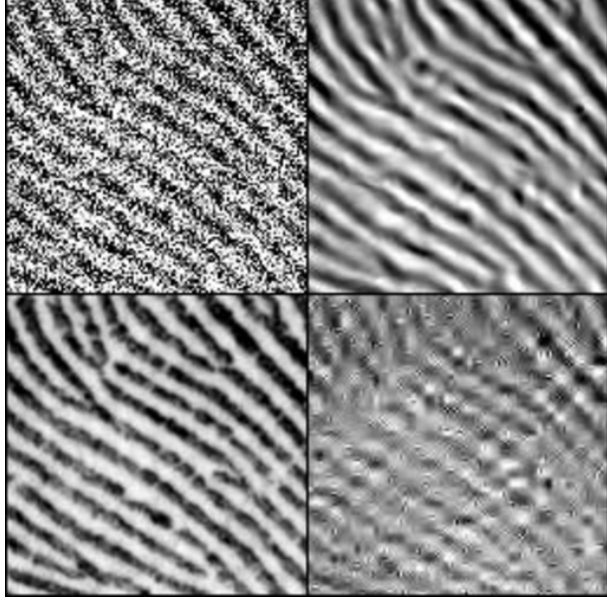
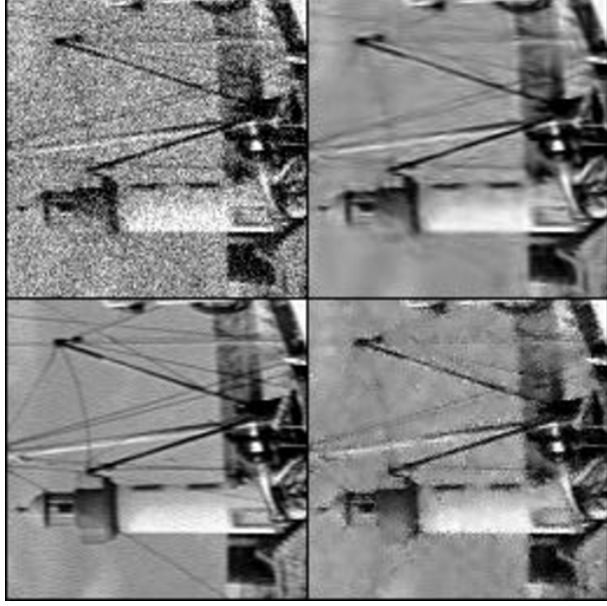
- *Portilla, Simoncelli et al. : steerable pyramid.*

Débruitage



- *Portilla, Simoncelli et al.* : steerable pyramid.
- Modélisation des coefficients par mélanges de gaussiennes.

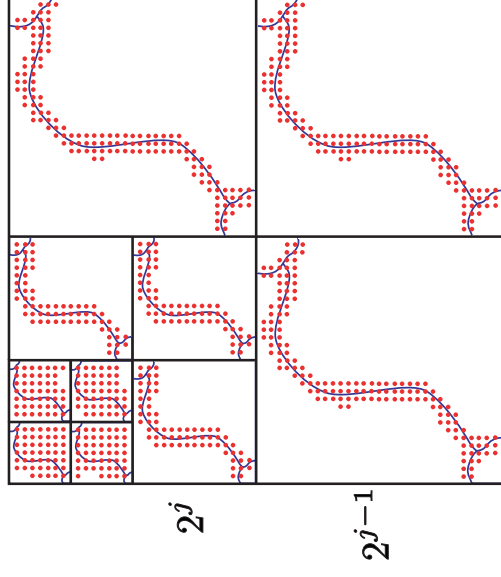
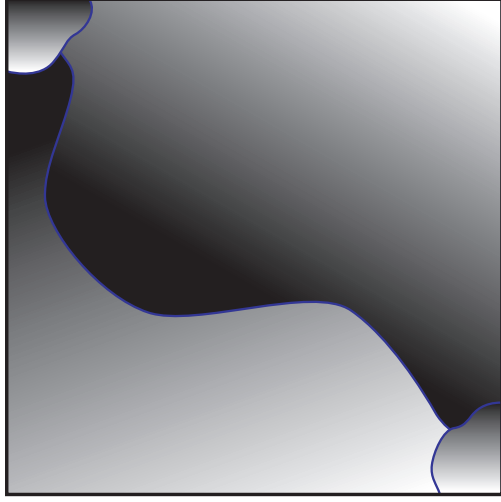
Débruitage



- *Portilla, Simoncelli et al.* : steerable pyramid.
- Modélisation des coefficients par mélanges de gaussiennes.
- Estimation locale des variables cachées.

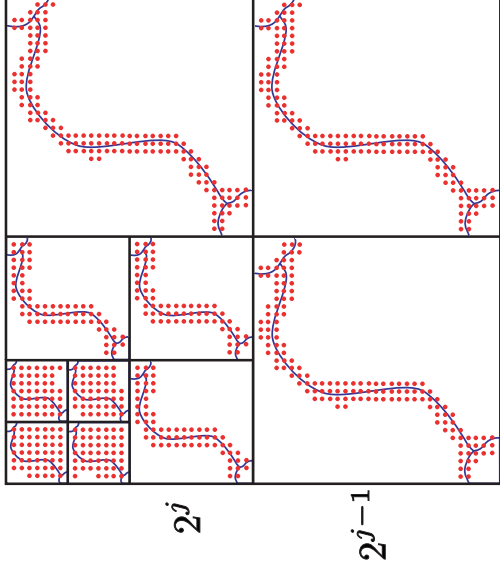
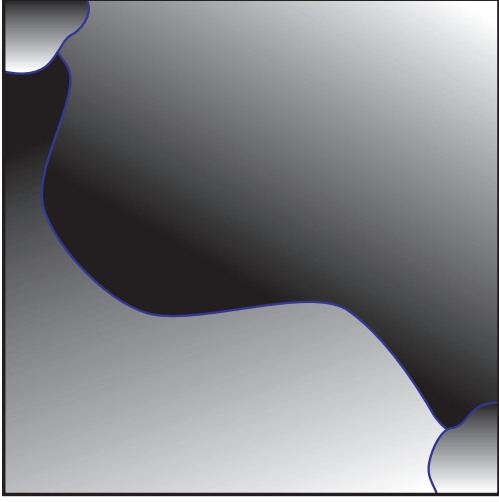
Retour vers les ondelettes

Retour vers les ondelettes



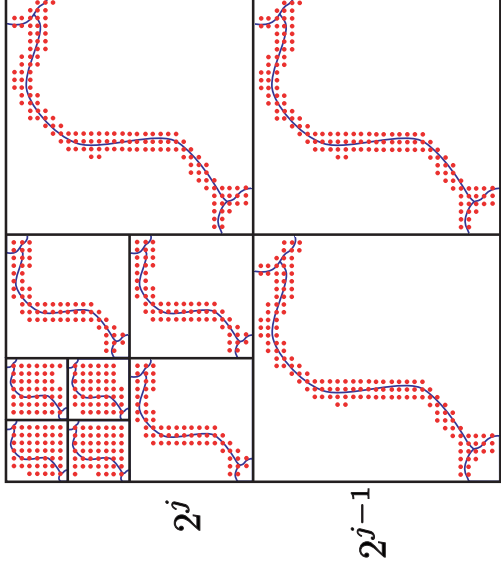
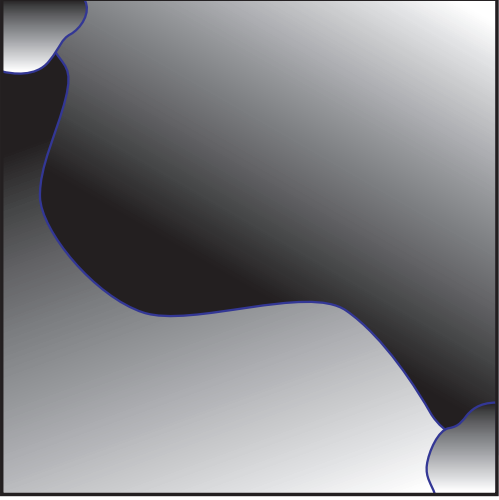
- À chaque échelle, comment approcher les coefficients non nuls (comportement chaotique) ?

Retour vers les ondelettes



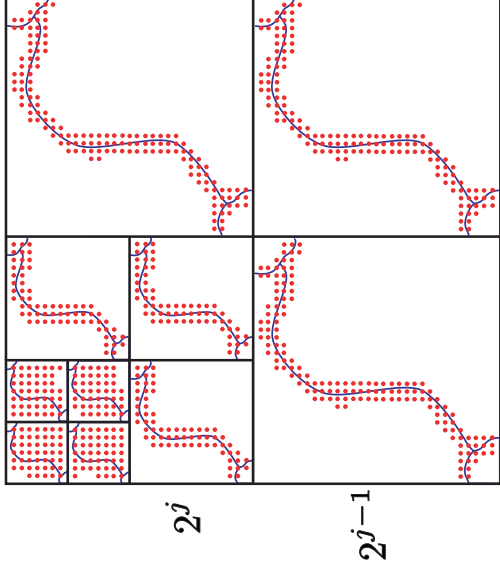
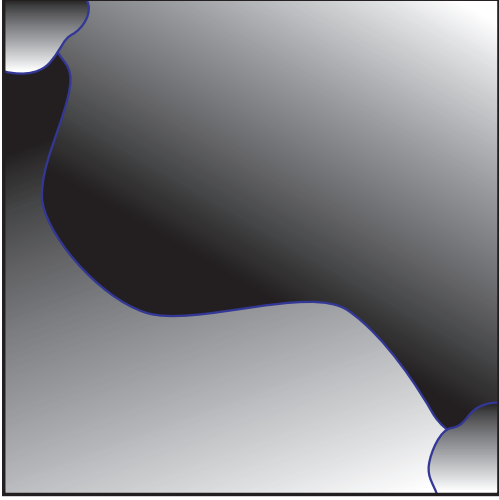
- À chaque échelle, comment approcher les coefficients non nuls (comportement chaotique) ?
- Utilisation de modèles paramétrés projetés sur les ondelettes : “wedgelets” et “wedgeprints” de Baraniuk, Romberg, Wakin et Dragotti, Vetterli (discontinuités le long de courbes).

Retour vers les ondelettes



- À chaque échelle, comment approcher les coefficients non nuls (comportement chaotique) ?
- Utilisation de modèles paramétrés projetés sur les ondelettes : “wedgelets” et “wedgeprints” de Baraniuk, Romberg, Wakin et Dragotti, Vetterli (discontinuités le long de courbes).
- Problème avec les contours flous : $f = \tilde{f} \star h_s$.

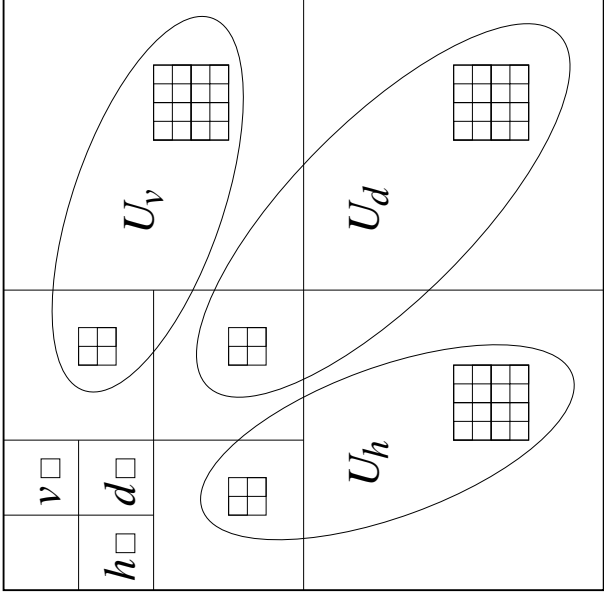
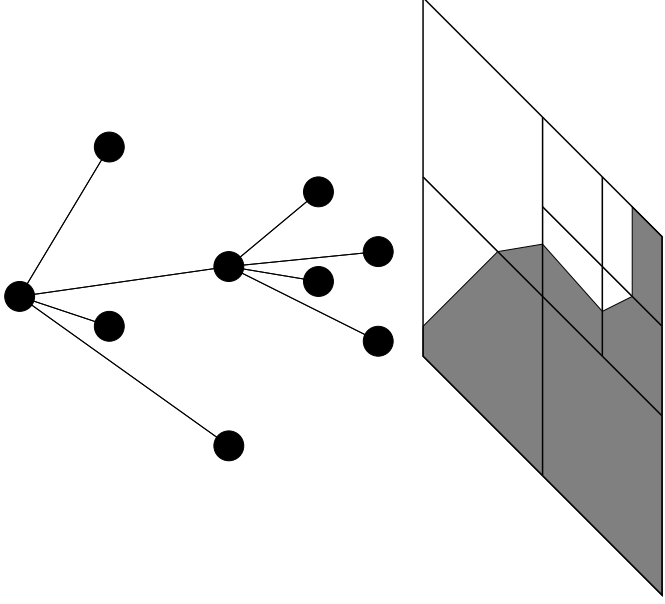
Retour vers les ondelettes



- À chaque échelle, comment approcher les coefficients non nuls (comportement chaotique) ?
- Utilisation de modèles paramétrés projetés sur les ondelettes : “wedgelets” et “wedgeprints” de Baraniuk, Romberg, Wakin et Dragotti, Vetterli (discontinuités le long de courbes).
- Problème avec les contours flous : $f = \tilde{f} \star h_s$.
- Modification de la transformée en ondelettes (Cohen).

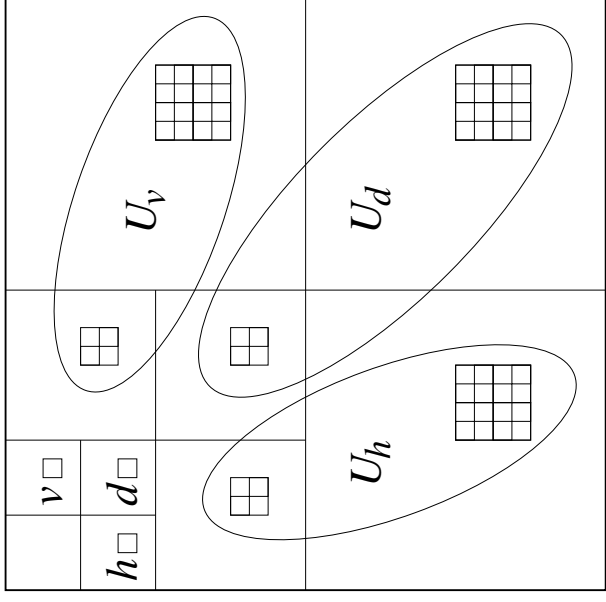
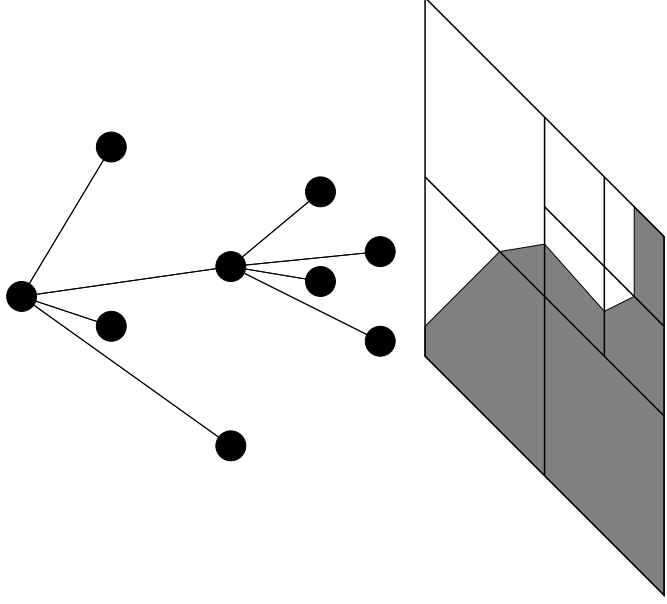
Compression

Compression



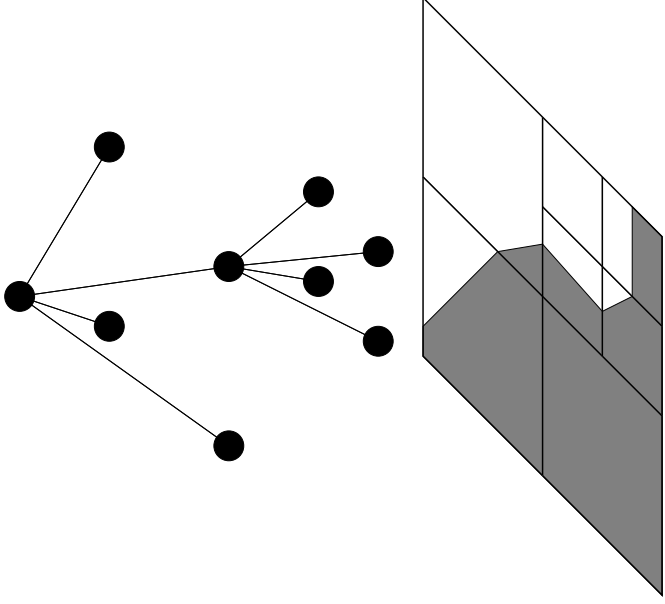
● Wedgelets : carrés dyadiques avec une discontinuité le long d'un segment.

Compression



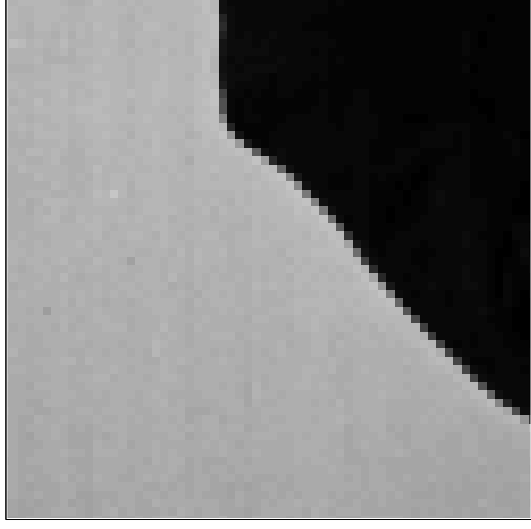
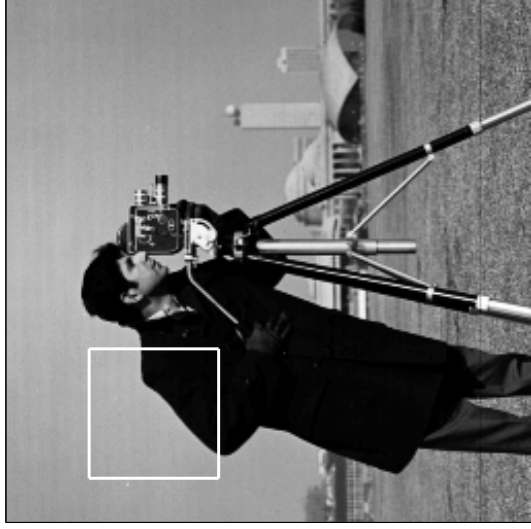
- Wedgetlets : carrés dyadiques avec une discontinuité le long d'un segment.
- Décomposition en ondelettes et codage : coefficients, zerotree + wedgetlets.

Compression



- Wedgetlets : carrés dyadiques avec une discontinuité le long d'un segment.
- Décomposition en ondelettes et codage : coefficients, zerotree + wedgetlets.
- Algorithme rapide d'optimisation.

Résultats



Ondelettes

28.8 dB

0.2 bits par pixel



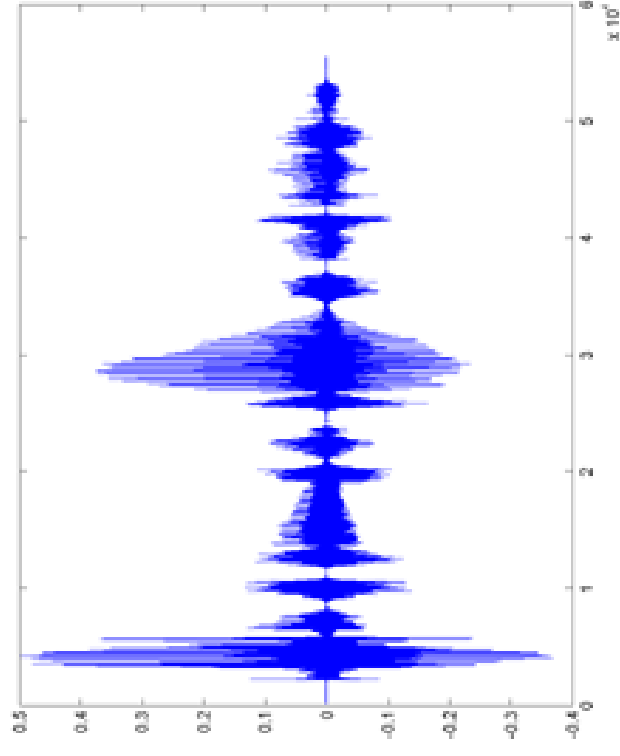
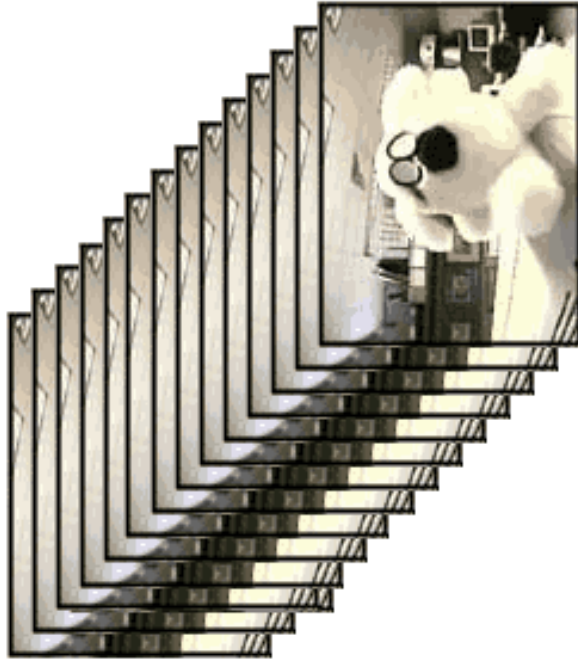
Wedgelets

30.2 dB

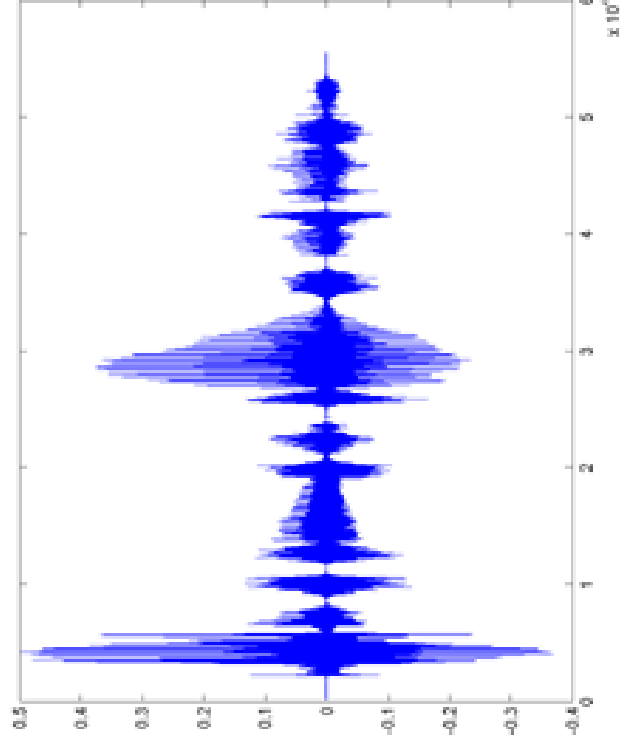
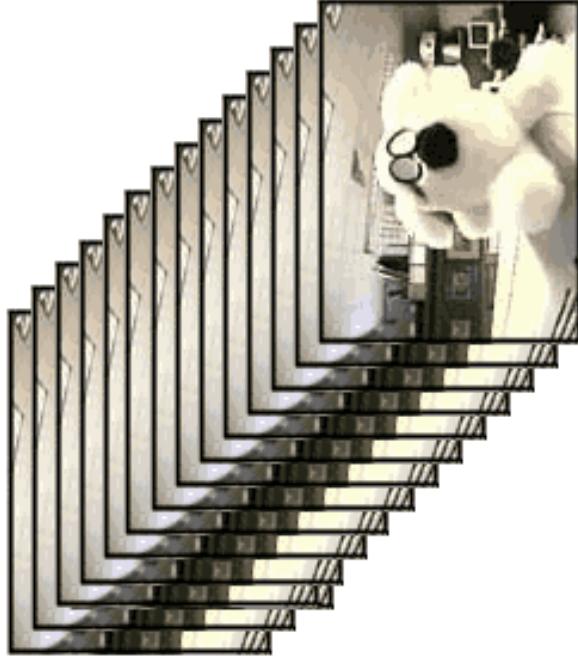
0.2 bits par pixel

Vidéos et sons

Vidéos et sons

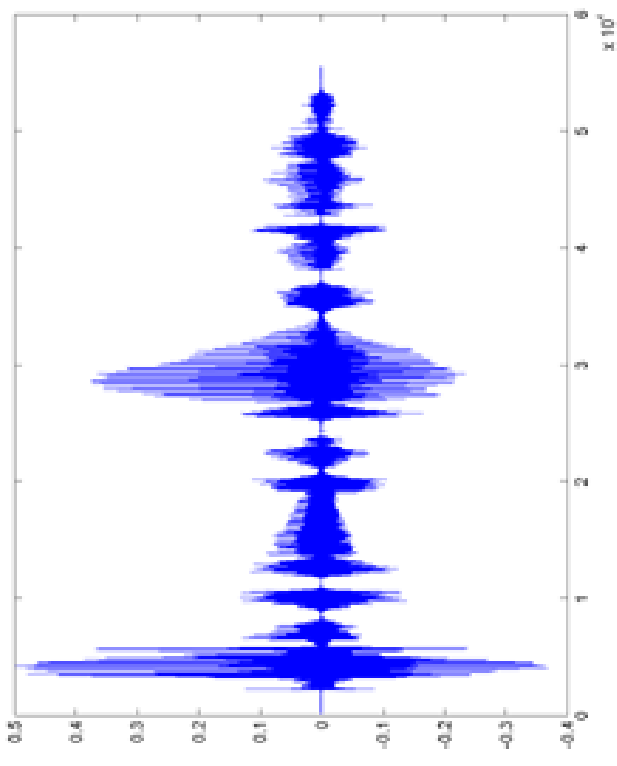
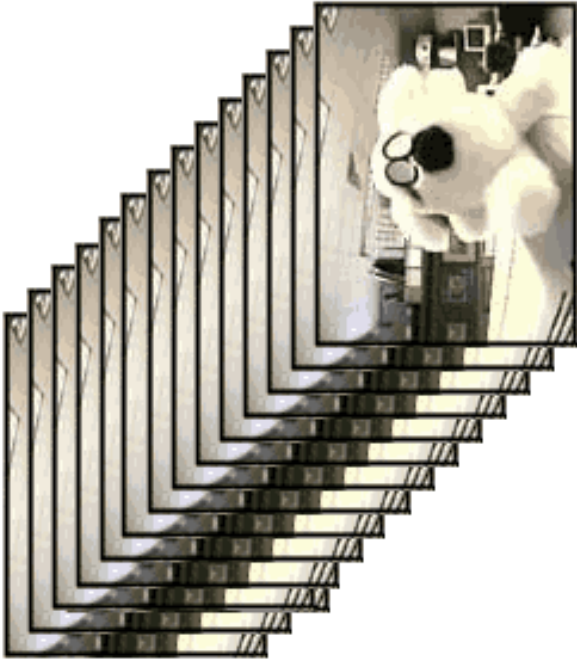


Vidéos et sons



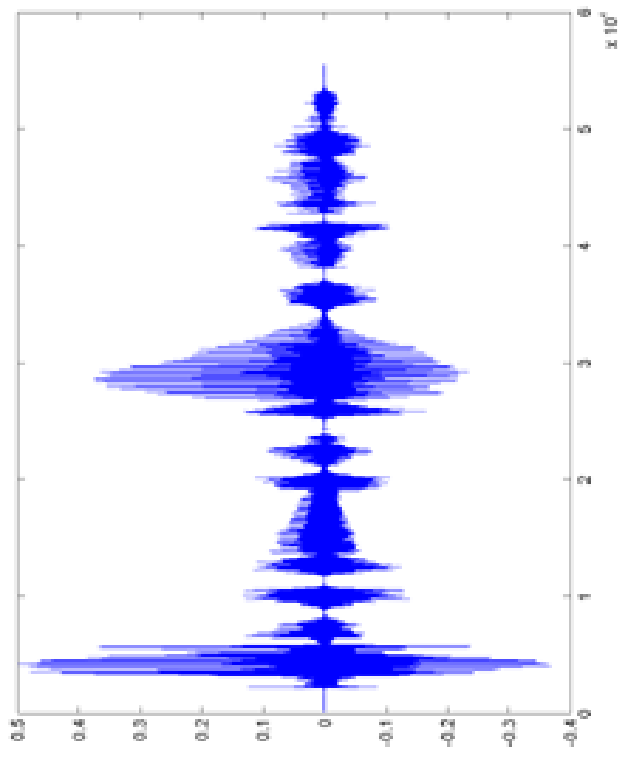
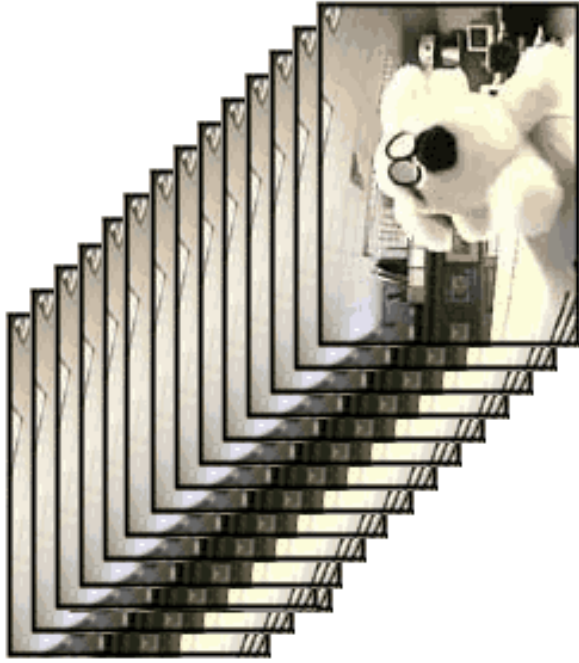
● Mêmes principes s'appliquent !

Vidéos et sons



- Mêmes principes s'appliquent !
- Vidéos : utilisation de la redondance temporelle (MPEG2, MPEG4, ...).

Vidéos et sons



- Mêmes principes s'appliquent !
- Vidéos : utilisation de la redondance temporelle (MPEG2, MPEG4, ...).
- Sons : utilisation de modèles auditifs (MP3, ...).

Conclusion

- Importance de la représentation pour le traitement du signal.

Conclusion

- Importance de la représentation pour le traitement du signal.
- Parcimonie !

Conclusion

- Importance de la représentation pour le traitement du signal.
- Parcimonie ! Mais pas toujours...

Conclusion

- Importance de la représentation pour le traitement du signal.
- Parcimonie ! Mais pas toujours...
- Importance de la géométrie pour le traitement de l'image.

Conclusion

- Importance de la représentation pour le traitement du signal.
- Parcimonie! Mais pas toujours...
- Importance de la géométrie pour le traitement de l'image.
- En général, nécessité d'une représentation adaptée au problème et au signal.

Conclusion

- Importance de la représentation pour le traitement du signal.
- Parcimonie! Mais pas toujours...
- Importance de la géométrie pour le traitement de l'image.
- En général, nécessité d'une représentation adaptée au problème et au signal.
- Encore beaucoup de travail...

Conclusion

- Importance de la représentation pour le traitement du signal.
- Parcimonie! Mais pas toujours...
- Importance de la géométrie pour le traitement de l'image.
- En général, nécessité d'une représentation adaptée au problème et au signal.
- Encore beaucoup de travail...
- Plus d'infos :
 - Erwan.Le-Pennec@polytechnique.edu
 - <http://www.cmap.polytechnique.fr/~lepennec>